

**KALKULASI NILAI EIGEN BERBASIS MATRIKS HAMILTONIAN  
MENGUNAKAN TEKNIK *BLOCK MATRIX*: STUDI KASUS PADA  
*GRAPHENE***

**SKRIPSI**

Diajukan sebagai Salah Satu Syarat untuk Menempuh Ujian Akhir Tingkat Sarjana  
pada Program Studi Fisika Fakultas Matematika dan Ilmu Pengetahuan Alam  
Universitas Padjadjaran

Oleh:  
**Mirza Aditya Deliantama**  
**140310170044**



**PROGRAM STUDI FISIKA  
FAKULTAS MATEMATIKA & ILMU PENGETAHUAN ALAM  
UNIVERSITAS PADJAJARAN  
2021**

## LEMBAR PENGESAHAN

JUDUL : KALKULASI NILAI EIGEN BERBASIS MATRIKS  
HAMILTONIAN MENGGUNAKAN TEKNIK *BLOCK*  
*MATRIX* : STUDI KASUS PADA *GRAPHENE*  
PENYUSUN : MIRZA ADITYA DELIANTAMA  
NPM : 140310170044  
LAB : FISIKA INSTRUMENTASI

Jatinangor, Agustus 2021

Menyetujui,

Pembimbing Utama

Pembimbing Pendamping

Prof. Dr. Eng. I Made Joni, M.Sc.

NIP. 19720601 200112 1 001

Dr. Ferry Faizal, Ph.D.

NIP. 19820531 201903 3 001

Mengetahui,

Ketua Program Studi Fisika

Fakultas Matematika dan Ilmu Pengetahuan Alam

Universitas Padjadjaran

Dr. Andri Abdurrochman, S.Si, MT.

NIP. 19740526 200312 1 002

## KATA PENGANTAR

Dengan nama Allah yang Maha Pengasih dan Maha Penyayang. Alhamdulillahahirabbil'aalamiin, segala puji hanya milik Allah 'azza wa jalla karena berkat-Nya skripsi yang berjudul "Kalkulasi nilai eigen berbasis matriks Hamiltonian menggunakan Teknik *Block Matrix* : studi kasus pada *Graphene*" sebagai salah satu syarat menyelesaikan pendidikan tingkat sarjana pada Program Studi Fisika, Fakultas Matematika dan Ilmu Pengetahuan Alam, Universitas Padjadjaran dapat selesai. Tak lupa terimakasih kepada Drs. Enung Achmad S., M.Pd., dan Lilis Susilayati, S.H., yaitu orang tua penulis yang selalu memberi dukungan kepada penulis sehingga penulis dapat menyelesaikan dengan sebaik mungkin. Penulis juga mengucapkan terimakasih kepada pihak-pihak yang membantu penulis untuk menyelesaikan tugas akhir ini:

1. Dekan Fakultas Matematika dan Ilmu Pengetahuan Alam Universitas Padjadjaran, Prof. Dr. Iman Rahayu, M.Sc.
2. Kepala Departemen Fisika FMIPA Unpad, Prof. Dr. Camellia Panatarani, M.Si.
3. Ketua Program Studi Fisika FMIPA Unpad, Dr. Andri Abdurrochman, S.Si, MT.
4. Prof. Dr. Eng. I Made Joni, M.Sc., selaku pembimbing utama dan dosen wali

yang telah yang selalu memberikan bimbingan, dukungan, bantuan secara materi dan psikis dan fasilitas terbaik kepada penulis selama penelitian dan kuliah

5. Prof. Dr. Camellia Panatarani, M.Si., yang selalu memberikan ilmu, dukungan dan fasilitas terbaik kepada penulis selama menyelesaikan skripsi
6. Dr. Ferry Faizal, Ph.D., selaku pembimbing pendamping yang selalu memberikan bimbingan, saran dan masukan, bantuan, dukungan, fasilitas dan arahan terbaiknya kepada penulis
7. Dr. Wildan Abdussalam, yang selalu memberikan bimbingan, motivasi, bantuan, dan arahan yang membuat penulis selalu bersemangat saat menyelesaikan skripsi
8. Pa Setianto, Pa Ocik, Kang Dwindra, dan seluruh civitas FiNder-U CoE yang membantu penulis menyelesaikan skripsi
9. Nurfauzi Fadillah yang telah memberikan bantuan, dukungan, fasilitas dan motivasi kepada penulis
10. P-Labs sebagai tempat penulis untuk membuat, merevisi dan menyelesaikan skripsi dengan menyenangkan
11. Ferdian, Syakir, Yoga, Felix, Hilmy, Ahmad, Victor, Naufal, Ghemma, Fahmi, Bayu, Reyhan, Budi, Abay dan Urfan yang telah memberikan kebahagiaan, dukungan dan bantuan kepada penulis selama menyelesaikan

skripsi

12. Revani dan Fahriza yang telah memberikan dukungan dan bantuan saat mengadakan pemaparan kemajuan mingguan agar skripsi ini dapat selesai dengan baik
13. Lutfi Naufal Ramadhika dan Lucia Patia Rochman yang telah memberikan dukungan moril kepada penulis saat menyelesaikan skripsi
14. Atom 2017 yang telah mewarnai masa kuliah penulis
15. Tim KBK Instrumentasi dan Elektronika yang selalu membuat penulis bersemangat untuk mengerjakan skripsi

Dengan segala kerendahan hati, penulis menyadari bahwa skripsi ini masih memiliki banyak kekurangan dan jauh dari kesempurnaan. Oleh karena itu, kritik dan saran yang membangun sangat dibutuhkan oleh penulis. Semoga skripsi ini dapat bermanfaat bagi perkembangan ilmu dan teknologi serta bagi pihak-pihak yang membutuhkan.

Jatinangor, Agustus 2021

Penulis

## ABSTRAK

Senyawa kimia organik adalah salah satu senyawa kimia yg sering diteliti, salah satu cara untuk meneliti senyawa tersebut adalah dengan menggunakan pendekatan kuantum yg disebut Kimia Fisik. Graphene merupakan salah satu senyawa kimia organik yang dapat diamati karakteristiknya dengan menggunakan Teori Hückel, yang akan melihat interaksi antar ikatan- $\pi$  dalam senyawa tersebut. Penggunaan kalkulasi eigen dari persamaan Schrödinger tak bergantung waktu akan menghasilkan nilai energi orbital molekul dan nilai konstanta gelombang. Kedua nilai inilah yang akan digunakan untuk mencari nilai absorpsi. Ketika menggunakan matriks Hamiltonian yang ukurannya besar, maka akan menyebabkan adanya *bottleneck* dalam kalkulasi matriks Hamiltonian menggunakan Teori Hückel. Agar performa komputasinya tidak menurun, digunakan perhitungan menggunakan teknik *Block Matrix* dan teknik *Big Data*. Tujuan penelitian yang akan dicapai yaitu menghitung celah energi dan hasil akurasi, serta membandingkan waktu komputasi dengan menggunakan *Block Matrix* dan tidak menggunakan *Block Matrix*, dan membandingkan waktu komputasi dengan Python (*Serial Processing*, *Multiprocessing* dan *Threading*) dan PySpark. Hasil penelitian menunjukkan bahwa, semakin banyak atom karbon yang dimiliki Graphene akan membuat celah energi yang dihasilkan semakin kecil yang diakibatkan oleh menurunnya jarak antara energi orbital molekul karena kerapatan tingkat energinya memadat. Nilai perubahan eksitasi energi dan momen dipol transisi yang didapatkan dari kalkulasi nilai eigen akan menggambarkan grafik absorpsi terhadap energi eksitasinya, dimana titik absorpsi tertinggi menggambarkan titik celah energinya. Selain itu dihasilkan juga performa komputasi tercepat untuk menghitung celah energi, yaitu dengan menggunakan teknik Dekomposisi Schur dan PySpark.

**Kata kunci:** *Graphene, Teori Hückel, Teori Pita, Energi Absorpsi, PySpark*

## ***ABSTRACT***

Organic chemical compounds are one of the chemical compounds that are often studied, one way to investigate these compounds is to use a quantum approach called Physicochemical. Graphene is one of the organic chemical compounds whose characteristics can be observed using the Hückel Theory, which will look at the interactions between  $\pi$ -bond in these compounds. The use of the eigen calculation of the time-independent Schrödinger equation will yield the energy values of the molecular orbitals and the value of the wave constant. These two values will be used to find the absorption value. When using a larger Hamiltonian matrix, it will cause a bottleneck in the calculation of the Hamiltonian Matrix using Hückel Theory. So that the computational performance does not decrease, calculations using the Block Matrix technique and the Big Data technique are used. The research objectives to be achieved are calculating the energy gap and its accuracy results, as well as comparing the computational time using Block Matrix and not using Block Matrix, and comparing computational time with Python (Serial Processing, Multiprocessing and Threading) and PySpark. The results show that, the more carbon atoms that Graphene has, the smaller the energy gap produced due to the decrease in the distance between the molecular orbital energies due to the density of states levels being condensed. The value of the change in excitation energy and the transition dipole moment obtained from the calculation of the eigenvalues will describe the absorption graph of the excitation energy, where the highest absorption point describes the energy gap point. Moreover, the fastest computational performance for calculating the energy gap is also generated, namely by using Schur Decomposition and PySpark.

**Keywords:** *Graphene, Hückel Theory, Band Theory, Absorbance Energy, PySpark*

## DAFTAR ISI

<b>LEMBAR PENGESAHAN</b> . . . . .	<b>i</b>
<b>KATA PENGANTAR</b> . . . . .	<b>iv</b>
<b>ABSTRAK</b> . . . . .	<b>v</b>
<b>ABSTRACT</b> . . . . .	<b>vi</b>
<b>DAFTAR ISI</b> . . . . .	<b>vii</b>
<b>DAFTAR GAMBAR</b> . . . . .	<b>x</b>
<b>DAFTAR TABEL</b> . . . . .	<b>xii</b>
<b>BAB I PENDAHULUAN</b> . . . . .	<b>1</b>
1.1 Latar Belakang . . . . .	1
1.2 Identifikasi Masalah . . . . .	3
1.3 Batasan Masalah . . . . .	3
1.4 Tujuan Penelitian . . . . .	4
1.5 Manfaat Penelitian . . . . .	4
<b>BAB II TINJAUAN PUSTAKA</b> . . . . .	<b>6</b>
2.1 Kimia Organik . . . . .	6
2.2 Graphene . . . . .	7



2.3	Teori Hückel . . . . .	9
2.4	Teori Pita . . . . .	13
2.5	Spektrum Absorbansi . . . . .	14
2.6	<i>Block Matrix</i> . . . . .	16
2.7	<i>Big Data</i> . . . . .	18
2.7.1	<i>Apache Spark</i> . . . . .	20
<b>BAB III METODE PENELITIAN . . . . .</b>		<b>24</b>
3.1	Perancangan Algoritma Penelitian . . . . .	24
3.2	Alat yang Digunakan . . . . .	25
3.2.1	Perangkat Lunak . . . . .	25
3.2.2	Perangkat Keras . . . . .	26
3.3	Perancangan Kode Komputasi . . . . .	26
3.3.1	Perancangan Matriks Hamiltonian . . . . .	26
3.3.2	Perancangan Kalkulasi Celah Energi . . . . .	29
3.3.3	Perancangan Kalkulasi Celah Energi dengan <i>Python</i> dan <i>PySpark</i> . . . . .	30
3.3.4	Perancangan Kalkulasi Absorbansi terhadap Perubahan Energi Eksitasi . . . . .	31
<b>BAB IV HASIL DAN PEMBAHASAN . . . . .</b>		<b>33</b>
4.1	Hasil Kode Komputasi . . . . .	33
4.1.1	Hasil Matriks Hamiltonian . . . . .	33
4.1.2	Hasil Kalkulasi Celah Energi . . . . .	36

4.1.3 Hasil Kalkulasi Celah Energi dengan <i>Python</i> dan <i>PySpark</i> .	38
4.1.4 Hasil Kalkulasi Absorbansi terhadap Perubahan Energi Eksitasi . . . . .	44
<b>BAB V KESIMPULAN DAN SARAN . . . . .</b>	<b>48</b>
5.1 Kesimpulan . . . . .	48
5.2 Saran . . . . .	49
<b>DAFTAR PUSTAKA . . . . .</b>	<b>50</b>
<b>DAFTAR LAMPIRAN . . . . .</b>	<b>58</b>
Lampiran 1: Kode Kalkulasi Huckel dan Absorbansi . . . . .	58
Lampiran 2: Kode Eksekusi dengan Python . . . . .	60
Lampiran 3: Kode Eksekusi dengan PySpark . . . . .	60
Lampiran 4: Kode Eksekusi dengan Multiprocessing . . . . .	62
Lampiran 5: Kode Eksekusi dengan Threading . . . . .	63
Lampiran : <i>Process Load</i> dengan Multiprocessing . . . . .	64
Lampiran : <i>Process Load</i> dengan PySpark . . . . .	64
Lampiran 8: Spark Master pada Server Google Cloud . . . . .	64
Lampiran 8: Spark Master pada Server KST . . . . .	65
Lampiran 10: Spesifikasi Server Google Cloud . . . . .	65

## DAFTAR GAMBAR

Gambar 2.1	<i>Senyawa Metana</i> [8] . . . . .	6
Gambar 2.2	<i>Struktur Graphene dan Graphite</i> [11] . . . . .	7
Gambar 2.3	<i>Struktur Senyawa Graphene</i> [7] . . . . .	8
Gambar 2.4	<i>Pembuatan Graphene dari Graphite</i> [14] . . . . .	8
Gambar 2.5	<i>Orbital Molekul Etilen (C<sub>2</sub>H<sub>4</sub>)</i> [17] . . . . .	10
Gambar 2.6	<i>Diagram HOMO dan LUMO pada suatu molekul</i> [22] .	14
Gambar 2.7	<i>Perbandingan Local Matrix, Row Matrix dan Block Matrix</i> [28] . . . . .	16
Gambar 2.8	<i>Big Data dan Karakteristiknya</i> [31] . . . . .	18
Gambar 2.9	<i>Grafik Ledakan Data terhadap Waktu Komputasi</i> [37] .	19
Gambar 2.10	<i>Apache Spark</i> [39] . . . . .	20
Gambar 2.11	<i>Contoh Kasus RDD pada Spark</i> [41] . . . . .	21
Gambar 2.12	<i>Alur Kerja Data pada Apache Spark</i> [44] . . . . .	22
Gambar 3.1	<i>Diagram Alir Penelitian</i> . . . . .	25
Gambar 3.2	<i>Indeks Struktur Empirik Graphene</i> . . . . .	28
Gambar 3.3	<i>Skema Kerja PySpark</i> . . . . .	31
Gambar 4.1	<i>Struktur Empirik Benzene untuk Hückel</i> . . . . .	33
Gambar 4.2	<i>Matriks Hamiltonian Benzene</i> . . . . .	34
Gambar 4.3	<i>Struktur Empirik Graphene 3,5 nm untuk Hückel</i> . . . .	34
Gambar 4.4	<i>Matriks Hamiltonian Graphene 3,5 nm</i> . . . . .	35

Gambar 4.5	Energi Orbital Molekul Benzene . . . . .	36
Gambar 4.6	Energi Orbital Molekul Graphene dengan 21 Atom . . .	37
Gambar 4.7	Grafik Celah Energi terhadap Banyaknya Atom . . . .	38
Gambar 4.8	Grafik Waktu Komputasi terhadap Banyak Atom dengan menggunakan dan tanpa menggunakan Dekomposisi Schur .	39
Gambar 4.9	Grafik Waktu Komputasi terhadap Banyak Atom untuk Server Google Cloud . . . . .	40
Gambar 4.10	Grafik Waktu Komputasi terhadap Banyak Atom untuk Server KST . . . . .	41
Gambar 4.11	Grafik Performa Komputasi . . . . .	43
Gambar 4.12	Spektrum Absorbansi terhadap Perubahan Energi Eksitasi pada Benzene . . . . .	46
Gambar 4.13	Spektrum Absorbansi terhadap Perubahan Energi Eksitasi pada Graphene . . . . .	47

## DAFTAR TABEL

Tabel 2.1	Karakteristik Big Data [34][35] . . . . .	19
Tabel 2.2	Kelebihan dan Kekurangan Big Data [38] . . . . .	20
Tabel 4.1	Besar Celah Energi terhadap Banyaknya Atom Karbon . . .	38
Tabel 4.2	Waktu Komputasi dengan Server Google Cloud . . . . .	42
Tabel 4.3	Waktu Komputasi dengan Server KST . . . . .	42
Tabel 4.4	Besar Energi Eksitasi tiap Keadaan HOMO ke LUMO . . .	44
Tabel 4.5	Besar Momen Dipol Transisi . . . . .	45

# **BAB I**

## **PENDAHULUAN**

### **1.1 Latar Belakang**

Kimia fisik adalah subdisiplin yang membahas tentang suatu kejadian physicochemical (fisiko-kimia) dengan menggunakan pendekatan secara atomik dan molekul dan benda terkondensasi dalam kaca mata kefisikaan [1]. Karena kimia fisik, maka akan sangat-sangat berkaitan dengan unsur yang ada di tabel periodik. Mulai dari unsur Hidrogen (H) dengan nomor atom 1, hingga unsur Oganesson (Og) dengan nomor atom 118. Salah satu bidang tentang kimia yaitu Kimia Organik. Kimia organik mempelajari tentang struktur, sifat, komposisi, reaksi, dan preparasi senyawa yang mengandung unsur karbon (C). Kimia organik tidak hanya mempelajari tentang hidrokarbon saja, namun ikatan antara karbon dengan senyawa lain seperti hidrogen, nitrogen, oksigen, sulfur, fosfor, silikon dan halogen [2]. Salah satu senyawa kimia organik yang saat ini sedang diteliti yaitu graphene. Graphene merupakan salah satu senyawa kimia turunan dari grafit dengan penyusun unsurnya adalah karbon yang saling berikatan satu sama lain [3]. Graphene merupakan bentuk lembaran (sheet) dari grafit. Karena molekul atom C dari graphene terdelokasi, maka kita bisa menghitung nilai energi dari orbital molekul graphene ini. Caranya adalah dengan menggunakan Teori Orbital Molekul Hückel atau sering disebut sebagai Metode Hückel [4].

Teori OMH ini memiliki karakteristik yaitu menggunakan operasi matriks untuk perhitungannya. Jika matriks yang digunakan masih berukuran kecil, maka dapat dilakukan dengan menggunakan operasi determinan biasa. Namun karena studi kasus yang dilakukan menggunakan graphene dengan jumlah atom karbon yang sangat banyak, maka besar matriks hamiltoniannya akan membesar dan menyebabkan operasi matriks yang digunakan adalah operasi eigen. Untuk dapat melakukan perhitungan besar energi orbital molekul maka akan dilakukan secara komputasi. Namun, besarnya ukuran matriks memengaruhi kecepatan komputasi untuk mencari solusi nilai eigen dari matriks tersebut. Ini berlaku untuk beberapa platform komputasi yang sering kita gunakan seperti MATLAB, Python dan lainnya.

Untuk menjawab permasalahan tersebut, maka diperlukannya operasi menggunakan sistem paralelisasi partisi. Dengan menggunakan paralelisasi partisi, kita bisa memanipulasi atau membagi sebuah matriks besar menjadi beberapa sub matriks kecil dan tetap mempertahankan kaidah matriks seperti biasanya [5]. Pekerjaan tiap sub matriks kecil tersebut akan dilakukan secara paralel di setiap core dari processor yang digunakan. Hal ini dapat mempercepat komputasi karena tidak perlu adanya waktu tunggu (latency) karena menunggu operasi sebelumnya [6].

Karena matriks dianggap suatu data, dan ukurannya sangat besar, maka akan sangat erat kaitannya dengan Big Data. Big Data singkatnya merupakan kumpulan data yang berukuran besar. Big Data memiliki beberapa karakteristik yang

terangkum dalam “6V’s of Big Data”. Karakteristik yang terpenting yaitu tentang volume karena ukurannya yang besar dan velocity karena memiliki kecepatan komputasi yang sangat cepat mendekati waktu nyata [7]. Maka dari itu, akan dilakukan operasi matriks menggunakan sistem Block Matrix dengan komputasi Big Data.

## 1.2 Identifikasi Masalah

1. Seberapa akurat hasil kalkulasi celah energi dan spektrum absorpsi nya jika dihitung menggunakan Python?
2. Apakah perhitungan celah energi yang dimiliki Graphene dapat dipercepat menggunakan teknik *Block Matrix*?
3. Apakah perhitungan celah energi yang dimiliki Graphene dapat dipercepat dengan Spark?

## 1.3 Batasan Masalah

1. Memerhatikan asumsi Hückel, yaitu:
  - (a) Menganggap semua ikatan adalah ikatan tunggal
  - (b) Hanya berinteraksi dengan tetangga terdekat (*First-Nearest Neighbor*)
  - (c) Elektron dalam ikatan- $\pi$  'merasakan' potensial elektrostatik diakibatkan oleh seluruh ikatan- $\sigma$



- (d) Hanya melibatkan orbital elektron- $\pi$  dan mengabaikan interaksi orbital elektron- $\sigma$  dengan orbital elektron  $\pi$

2. Menggunakan aplikasi *Apache Spark* dengan bahasa pemrograman *Python* dalam *PySpark*

3. Menggunakan dua buah *environment* server untuk kalkulasi:

- (a) Google Cloud Instance Iowa (US)

- (b) Server KST

#### **1.4 Tujuan Penelitian**

1. Menghitung celah energi dan absorpsi Benzene dan Graphene menggunakan Python dengan melihat akurasi hasil perhitungannya
2. Membandingkan kecepatan komputasi menggunakan Teknik *Block Matrix* dan tidak menggunakan *Block Matrix*
3. Membandingkan kecepatan komputasi menggunakan Python dengan variasi Serial Processing, Multi Processing, Threading, dan PySpark

#### **1.5 Manfaat Penelitian**

1. Mengetahui sifat dan karakteristik, khususnya tentang energi orbital molekul dari Graphene

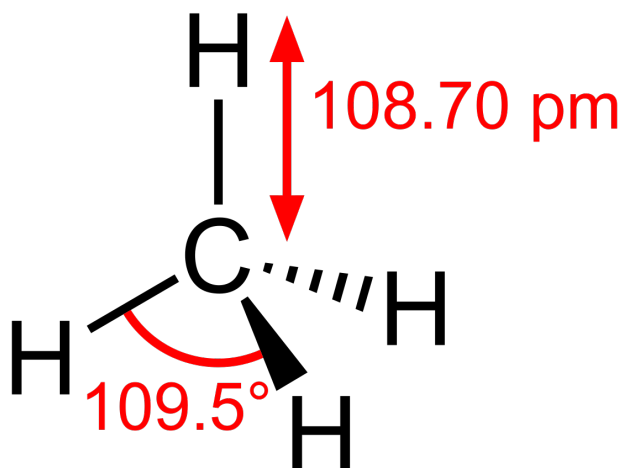
2. Menambah pengetahuan tentang Graphene
3. Mengetahui teknik pemrosesan matriks dengan laju komputasi tercepat

## BAB II

### TINJAUAN PUSTAKA

#### 2.1 Kimia Organik

Kimia organik merupakan bidang kimia yang mempelajari tentang struktur, sifat, komposisi, reaksi, dan preparasi senyawa yang mengandung unsur karbon (C). Kimia organik tidak hanya tentang hidrokarbon, namun mempelajari senyawa lain juga misal unsur karbon berikatan dengan unsur hidrogen (H), nitrogen (N), oksigen (O), halogen (golongan VII A), fosfor (P), silikon (Si) dan belerang (S) [2]. Kimia organik akan memerhatikan tentang sifat fisik dan kimia beserta evaluasi reaktivitas kimia untuk memahami perilaku dari senyawa tersebut.



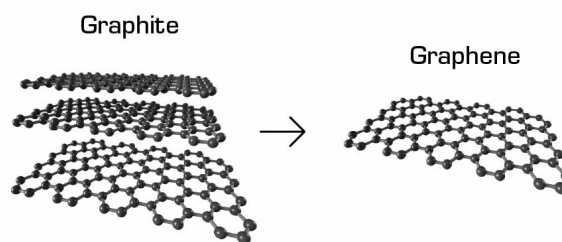
Gambar 2.1: Senyawa Metana [8]

Senyawa organik memiliki pola ikatan tunggal dan rangkap (rangkap dua dan tiga) karena karbon memiliki 4 elektron valensi yang menyebabkan karbon dapat

berikatan dengan 4 buah unsur yang berbeda [6]. Kimia organik sangatlah berguna untuk produk komersial dan juga produk sains. Seperti contohnya untuk kosmetik, pelumas, bahan petrokimia dan lainnya. Salah satu senyawa kimia organik yang saat ini sedang diteliti yaitu senyawa Graphene.

## 2.2 Graphene

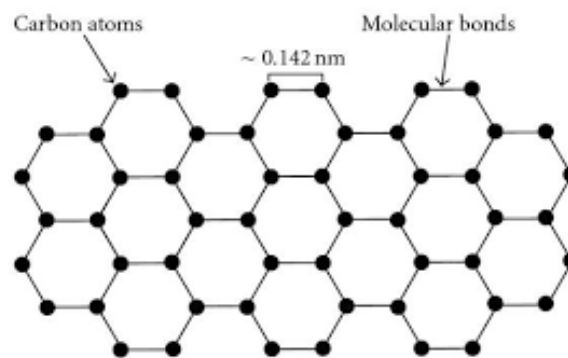
Graphene merupakan senyawa dengan ketebalan seperti ketebalan satu buah atom (*one-atom-thick*) dan berstruktur 2 dimensi yang terdiri dari miliaran atom karbon (C) yang terbentuk seperti kisi heksagonal (atau sering disebut dengan sarang lebah) dan merupakan struktur fundamental untuk setiap bentuk karbon saat ini [7][9]. Senyawa graphene memiliki karakteristik tebal yang sangat tipis, fleksibel, kuat dan transparan [5]. Graphene lebih keras daripada intan, namun lebih elastis daripada karet, lebih kuat daripada baja dan lebih ringan daripada aluminium [10]. Graphene merupakan turunan dari karbon yang dijadikan lembaran dan berasal dari graphite.



**Gambar 2.2:** Struktur Graphene dan Graphite [11]

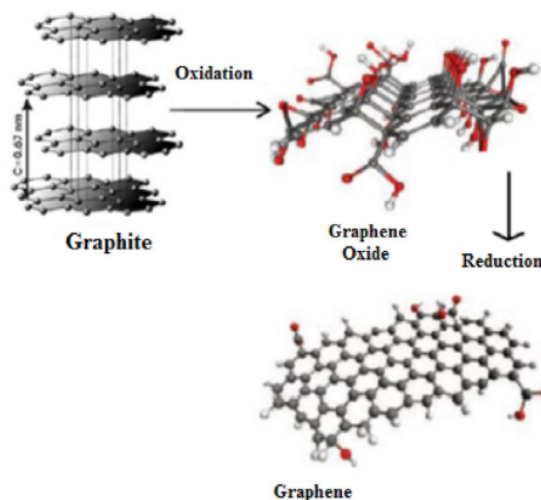
Graphene hanya terdiri dari atom C yang jarak antar atom C sebesar  $\pm 0.142$  nm [3] dan jarak interplanar nya 0.335 nm. Setiap atom karbon (atom C) memiliki

radius  $\pm 170$  pm atau 0.17 nm (*Van der Waals radius*) [12]. Graphene memiliki mobilitas elektron lebih dari  $15000\text{ cm}^2\text{V}^{-1}\text{s}^{-1}$ . Dari sini bisa disimpulkan bahwa Graphene memiliki sifat kimia dan fisiknya yang sangat baik. Lalu karena Graphene adalah dasar dari alotrop grafit, lalu dapat dibentuk menjadi fullerene 0D, digulung menjadi tabung nano (nanotube) 1D, dan ditumpuk menjadi grafit 3D, inilah sebabnya Graphene disebut sebagai induk dari grafit [13].



**Gambar 2.3:** *Struktur Senyawa Graphene* [7]

Aplikasi dari Graphene bisa digunakan menjadi resonator, saklar, katup, konduktor dan beberapa aplikasi lainnya [7].

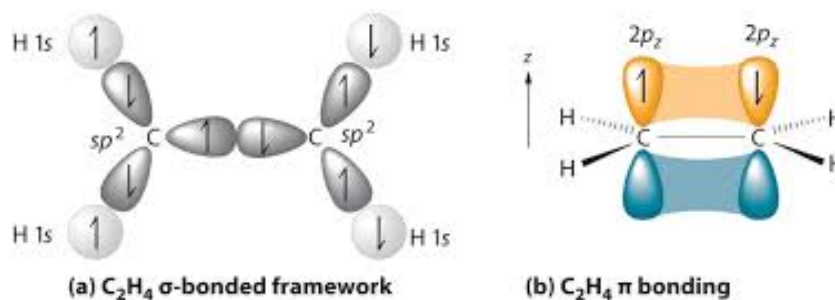


**Gambar 2.4:** *Pembuatan Graphene dari Graphite* [14]

Karakteristik dari Graphene bisa kita lihat, salah satunya mengenai energi yang dimiliki oleh orbital molekul Graphene. Untuk melihat energinya, kita dapat menggunakan suatu teori yang dikemukakan oleh Enrich Hückel yang bernama Teori Hückel.

### 2.3 Teori Hückel

Teori Hückel sangat erat kaitannya dengan teori orbital molekul. Orbital molekul merupakan suatu penggambaran daerah yang dapat ditempati oleh suatu elektron dalam suatu molekul. Orbital molekul menggunakan pendekatan Schrödinger untuk elektron dalam medan listrik di inti atom suatu molekul. Dengan menggunakan orbital molekul kita bisa melihat konfigurasi elektron molekul. Karena orbital molekul merupakan fermion, maka ia akan memenuhi prinsip Pauli [15]. Orbital dari suatu molekul memiliki level energinya masing-masing. Ikatan antar unsur dalam suatu molekul disebut ikatan- $\sigma$ . Misalkan, senyawa  $C_2H_4$  (etilen), memiliki ikatan  $C=C$  dengan ikatan ganda, dan  $C-H$  dengan ikatan tunggal. Ikatan  $C=C$  dan  $C-H$  disebut ikatan- $\sigma$ , dan karena hibridisasi dari etana memiliki elektron di  $2p_x$  dan  $2p_y$ , maka orbital di  $2p_z$  akan membentuk ikatan- $\pi$ . Karena jarak antara ikatan- $\pi$  dan ikatan- $\sigma$  cukup jauh, menyebabkan interaksi antar ikatan  $\pi$  lebih besar daripada besar interaksi ikatan  $\sigma$  dan  $\pi$ . Maka kita bisa mengabaikan interaksi antara ikatan  $\sigma$  dan  $\pi$  [16]



**Gambar 2.5:** *Orbital Molekul Etilen ( $\text{C}_2\text{H}_4$ )* [17]

Dari sini, Hückel mengembangkan suatu teori dimana orbital molekul yang digunakan dapat dihitung energinya menggunakan teori elektron- $\pi$ . Maka lahirlah Teori Orbital Molekul Hückel (Teori OMH) atau sering disebut dengan Teori Hückel. Dengan menggunakan teori Hückel, kita bisa melihat energi yang dihasilkan dari ikatan- $\pi$  suatu molekul. Ia mengungkapkan bahwa orbital molekul yang dilambangkan oleh  $\psi$  adalah kombinasi linier dari orbital-orbital  $2p_z$  dari semua atom karbon dalam suatu molekul [18]. Kombinasi linier orbital molekul sering disebut sebagai LCAO (*Linear Combination of Atomic Orbital*) [19]. LCAO  $2p_z$  ini dapat ditulis secara matematis dengan:

$$\psi = \sum_i c_i \phi_i \quad (2.1)$$

dengan  $\phi_i$  adalah orbital  $2p_z$  dalam atom karbon ke- $i$ . Jika  $\hat{H}$  dianggap sebagai Hamiltonian efektif elektron-tunggal dalam molekul, maka berlaku:

$$\hat{H} |\psi\rangle = E |\psi\rangle \quad (2.2)$$

Persamaan (2.2) memenuhi persamaan sekuler:

$$\sum_j H_{ij} - ES_{ij}c_j = 0 \quad (2.3)$$

dengan

$$H_{ij} = \int \phi_i \hat{H} \phi_j dv \quad (2.4)$$

$$S_{ij} = \int \phi_i \phi_j dv \quad (2.5)$$

Integral yang ada di persamaan (2.4) bisa didefinisikan sebagai data empiris.

Contohnya adalah  $H_{ii}$  adalah potensial ionisasi elektron- $\pi$  di karbon ke- $i$  dan  $H_{i,i\pm 1}$

adalah energi yang dibutuhkan untuk elektron- $\pi$  melompat ke atom terdekatnya.

Karena  $S_{ii} = 1$  dan  $S_{ij}$  jauh lebih kecil daripada 1 maka dapat diabaikan. Maka,

$$\begin{cases} \alpha; i = j \\ H_{ij} = \beta; j = i \pm 1 \\ 0; \text{lainnya} \end{cases} \quad (2.6)$$

Singkatnya, persamaan (2.6) dapat menjadi sebuah persamaan matriks yang ditulis

dengan,

$$\begin{bmatrix} H_{11} - ES_{11} & H_{12} - ES_{12} & \dots & H_{1j} - ES_{1j} \\ H_{21} - ES_{21} & H_{22} - ES_{22} & \dots & H_{2j} - ES_{2j} \\ \dots & \dots & \dots & \dots \\ H_{i1} - ES_{i1} & H_{i2} - ES_{i2} & \dots & H_{ij} - ES_{ij} \end{bmatrix} \begin{bmatrix} c_1 \\ c_2 \\ \dots \\ c_j \end{bmatrix} = 0 \quad (2.7)$$



Karena  $H_{ii} = \alpha$ ,  $H_{ij} = \beta$ , dan  $S_{ij} = \delta_{ij} = 1$  jika  $i = j$  dan akan bernilai 0 jika  $i \neq j$ .

Maka matriks Hamiltoniannya menjadi,

$$\begin{bmatrix} \alpha - E & \beta & 0 & \beta \\ \beta & \alpha - E & \beta & 0 \\ \dots & \dots & \dots & \dots \\ \beta & 0 & \beta & \alpha - E \end{bmatrix} \begin{bmatrix} c_1 \\ c_2 \\ \dots \\ c_j \end{bmatrix} = 0 \quad (2.8)$$

Misalkan pada *Ethylene* memiliki 2 atom C yang menyebabkan matriks Hamiltoniannya menjadi ukuran berukuran 2x2.

$$\begin{bmatrix} \alpha - E & \beta \\ \beta & \alpha - E \end{bmatrix} \begin{bmatrix} c_1 \\ c_2 \end{bmatrix} = 0 \quad (2.9)$$

Energi orbital molekul dalam teori OMH didefinisikan dalam dua bentuk, yaitu energi dari sebuah elektron dalam orbital 2p (energi ionisasi) yang disebut dengan  $\alpha$  dan energi interaksi antara dua orbital 2p (energi resonansi) yang disebut dengan  $\beta$  [17][18].

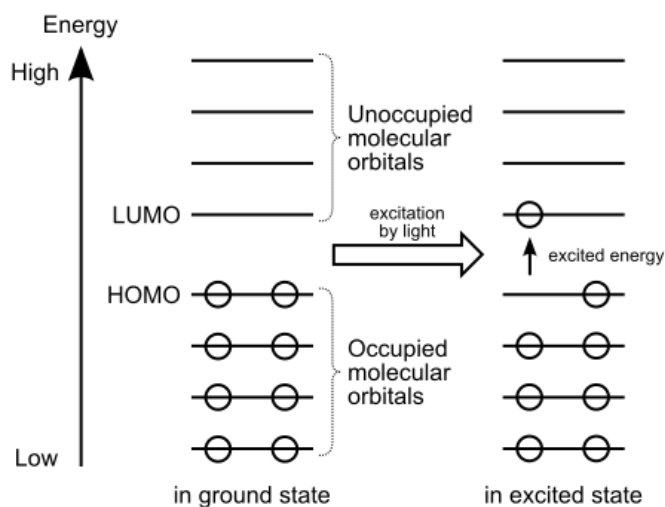
Dalam kasus ini,  $\hat{H}$  merupakan suatu matriks Hamiltonian yang menggambarkan keadaan orbital dari suatu molekul. Banyaknya atom karbon akan mempengaruhi besar matriks Hamiltonian yang didapat. Seperti misalkan benzene ( $C_6H_6$ ) yang memiliki 6 atom karbon, maka matriks yang dihasilkannya berukuran 6x6. Jika dikaitkan dengan graphene yang memiliki jumlah atom C yang sangat banyak, maka matriks Hamiltonian yang dihasilkannya pun ukurannya akan sangat

besar. Operasi yang akan digunakan yaitu operasi eigen. Hasil dari metode ini adalah energi orbital dari molekul uji yang digunakan. Aplikasi dari metode Hückel ini yaitu bisa menghitung celah pita [20], rapat elektron dan konduktivitas bahan [16]. Dari literatur, dikatakan bahwa pada Graphene besar  $\alpha = -10.7$  eV dan  $\beta = -1.58$  eV [5].

Sesuai persamaan Schrödinger tak bergantung waktu pada Persamaan (2.2), maka kita bisa memperlakukan persamaan tersebut sebagai persamaan eigen.  $\hat{H}$  sebagai operator,  $|\psi\rangle$  sebagai fungsi gelombang, dan  $E$  sebagai nilai eigen (*eigen energy*). Tiap tingkatan eigen energy nya akan merepresentasikan keadaan energi dalam tiap orbital yang dimiliki oleh material tertentu. Sebelum menentukan lebar celah dari tingkat energi nya, perlu untuk memahami tentang teori pita terlebih dahulu.

## 2.4 Teori Pita

Dalam teori fisika zat padat, saat sebuah atom digabungkan dengan atom lainnya akan terjadi tumpang tindih fungsi gelombang elektron. Misalkan terdapat atom A dan B yang digabungkan. Jika tidak ada interaksi *bonding* dan *anti-bonding* nya, maka orbital yang dihasilkan adalah non ikatan, dimana elektron yang menempati orbital molekul terisi dan berenergi tinggi disebut *Highest Occupied Molecular Orbital* (HOMO), dan orbital molekul tidak terisi dan berenergi paling rendah disebut *Lowest Unoccupied Molecular Orbital* (LUMO) [21].



**Gambar 2.6:** Diagram HOMO dan LUMO pada suatu molekul [22]

Teori pita adalah suatu model yang menjelaskan keadaan sebuah elektron yang hanya memiliki sebuah keadaan energi spesifik tertentu [17]. Dalam sebuah senyawa, elektron akan menempati suatu tempat sesuai energi spesifik yang dimilikinya. Tempat inilah yang akan disebut sebagai pita energi. Sesuai dengan larangan Pauli (*Pauli Exclusion*) dimana tidak ada dua elektron yang memiliki bilangan kuantum yang sama. Jika terdapat elektron lain, elektron tersebut akan membuat pita baru dan tidak akan menempati keadaan pita yang lainnya [23].

## 2.5 Spektrum Absorbansi

Pada Gambar 2.6, saat terdapat cahaya berenergi tertentu ditembakkan, maka orbital yang berada di daerah HOMO akan memiliki energi berlebih. Akibatnya, orbital tersebut akan tereksitasi ke keadaan dengan energi yang lebih tinggi. Karena orbital tersebut tidak stabil saat berada di keadaan energi yang bukan keadaan asalnya, orbital tersebut akan de-eksitasi kembali ke keadaan awalnya

dengan meng-emisikan energi berlebih yang ia serap menjadi suatu gelombang emisi [24]. Dari fenomena tersebut, kita bisa mengetahui celah pita yang dimiliki oleh senyawa tertentu dan bisa melihat energi yang di serap di tiap celah energinya dengan menggambarkan spektrum absorbansinya. Spektrum Absorbansi mengacu pada pengukuran penyerapan radiasi (melalui spektroskopi) sebagai fungsi energi atau panjang gelombang pada sebuah sampel. Untuk mencari absorbansi terhadap perubahan energi eksitasinya dapat menggunakan persamaan,

$$\tilde{G}(E) = \frac{1}{N} \sum_i^N |\tilde{G}^{(j)}|^2 \delta_{E,E_j} \quad (2.10)$$

dengan

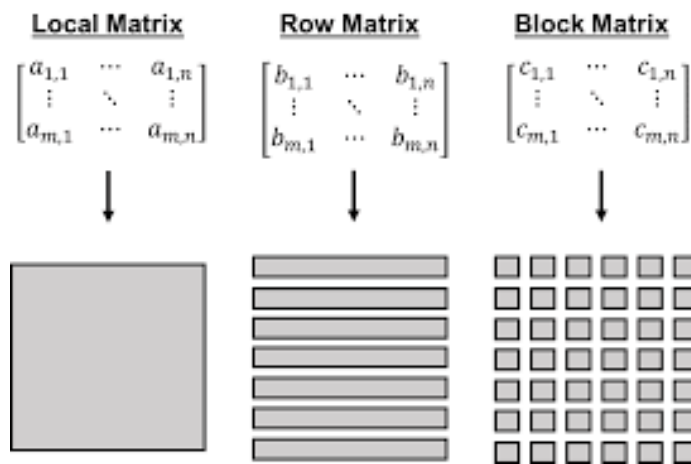
$$\tilde{G}^{(j)} = g \sum_i^N \langle \varphi_0 | \hat{\sigma}_{eg}^{(i)} + \hat{\sigma}_{ge}^{(i)} | \varphi_j \rangle \quad (2.11)$$

$\delta_{E,E_j}$  adalah delta *kroncker* dan  $E_j$  adalah *eigen energy* pada keadaan kolektif [25].

Permasalahan yang dihadapi adalah ukuran matriks Hamiltonian yang sangat besar dan ini berefek pada laju komputasi yang akan kita lakukan. Hal tersebut bisa membuat laju komputasi menurun drastis karena proses komputasi yang sangat banyak dan tidak bisa dilakukan secara paralel. Untuk menjawab permasalahan tersebut, maka kita akan menggunakan operasi Block Matrix sebagai paralelisasi operasi matriks agar dapat dikerjakan dengan worker yang berbeda dan membantu dalam komputasi.

## 2.6 Block Matrix

*Block Matrix* merupakan salah satu operasi yang paling penting untuk meningkatkan kinerja komputasi. Dengan menggunakan Block Matrix maka operasi dapat diparalelisasi [26]. Block Matrix adalah operasi matriks dimana suatu matriks berdimensi besar akan dibagi menjadi beberapa sub matriks kecil [27].



**Gambar 2.7:** Perbandingan Local Matrix, Row Matrix dan Block Matrix [28]

Terlihat dari Gambar 2.7 bahwa Block Matrix akan membagi matriks yang awalnya berukuran sangat besar (yaitu Local Matrix), menjadi beberapa sub matriks kecil. Misalkan kita memiliki matriks A dengan ukuran 4x4,

$$A = \begin{bmatrix} a_{11} & a_{12} & a_{13} & a_{14} \\ a_{21} & a_{22} & a_{23} & a_{24} \\ a_{31} & a_{32} & a_{33} & a_{34} \\ a_{41} & a_{42} & a_{43} & a_{44} \end{bmatrix} \quad (2.12)$$

dengan menggunakan Block Matrix, maka matriks A dapat kita bagi menjadi 4 sub matriks yaitu  $A_{11}, A_{12}, A_{21}, A_{22}$ .

$$A = \begin{bmatrix} A_{11} & A_{12} \\ A_{21} & A_{22} \end{bmatrix} \quad (2.13)$$

jika ditulis per submatriksnya menjadi,

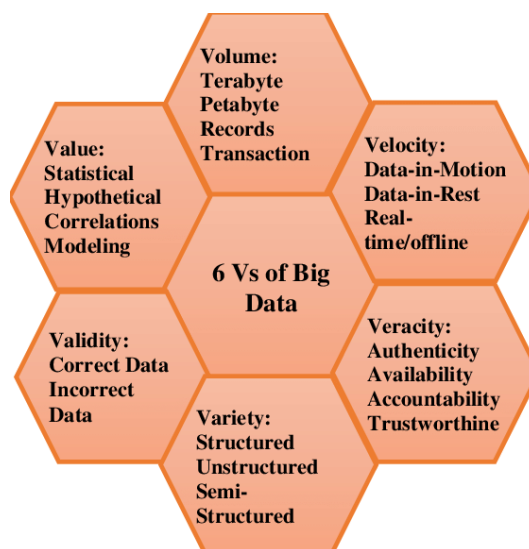
$$A_{11} = \begin{bmatrix} a_{11} & a_{12} \\ a_{21} & a_{22} \end{bmatrix} \quad A_{12} = \begin{bmatrix} a_{13} & a_{14} \\ a_{23} & a_{24} \end{bmatrix} \quad A_{21} = \begin{bmatrix} a_{31} & a_{32} \\ a_{41} & a_{42} \end{bmatrix} \quad A_{22} = \begin{bmatrix} a_{33} & a_{34} \\ a_{43} & a_{44} \end{bmatrix} \quad (2.14)$$

Dengan metode Block Matrix akan digunakan untuk mengkalkulasi persamaan eigen. Persamaan eigen akan menghasilkan dua buah output, yaitu nilai eigen dan vektor eigen. Vektor eigen adalah vektor karakteristik tidak nol yang menggambarkan sistem linier dari sebuah persamaan matriks. Nilai eigen adalah nilai skalar untuk mentransformasi vektor eigen atau sering disebut sebagai karakteristik skalar [29]. Salah satu metode Block Matrix adalah dengan menggunakan *Schur Decomposition*. Dekomposisi Schur akan membagi sebuah matriks menjadi 4 buah sub matriks dan menghitung determinan tiap sub matriksnya [30]. Jika menggunakan persamaan (2.12), maka dekomposisi Schur nya menjadi

$$\det \begin{bmatrix} A_{11} & A_{12} \\ A_{21} & A_{22} \end{bmatrix} = \det(A_{11}) * \det(A_{22} - A_{21}A_{11}^{-1}A_{12}) \quad (2.15)$$

Karena elemen matriks yang didapatkan dari Graphene sangat banyak, dan diperlukan adanya sistem komputasi yang bisa memproses banyak data dengan kecepatan yang sangat tinggi. Maka kita akan menggunakan suatu metode menggunakan Big Data.

## 2.7 *Big Data*



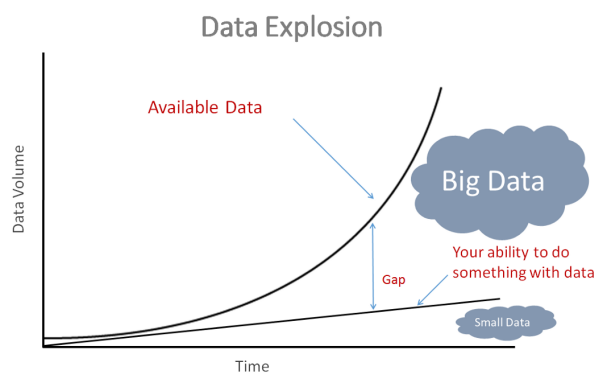
**Gambar 2.8:** *Big Data dan Karakteristiknya* [31]

*Big Data* adalah salah satu metode cara memproses berbagai jenis data atau dalam literatur lain dikatakan bahwa *Big Data* adalah data yang berisi lebih banyak variasi yang datang dalam volume yang terus meningkat dan dengan kecepatan meningkat juga [32]. Data dibagi menjadi dua tipe, yaitu Data Terstruktur (data numerik), dan Data Tidak Terstruktur (teks, suara, gambar, dll) [33]. Secara makna, Big Data merupakan suatu data yang ukurannya sangat besar, bentuk yang tidak teratur, dengan komunikasi data kecepatan tinggi. Big Data memiliki 6 karakteristik yang disebut sebagai “6V’s of Big Data” yang tertera pada Tabel 2.1.

**Tabel 2.1:** Karakteristik Big Data [34][35]

Volume	Volume adalah salah satu hal yang menjadi feature dari Big Data. Berkaitan dengan hubungan antara ukuran dan kapasitas pemrosesan.
Velocity	Kecepatan pemrosesan Big Data sangatlah cepat, ini dikarenakan dari data yang dimilikinya sangat besar dan akan semakin membesar seiring banyaknya data yang masuk. Kecepatan yang dimiliki sangat cepat karena memanfaatkan data geolokasi, tren dan informasi input data.
Value	Value menjelaskan bahwa nilai yang akan diperoleh dari suatu data dan lebih bernilai dari stored data
Variability	Variability mengungkap tentang variable-variabel yang mempengaruhi proses komunikasi data dan pemrosesannya beserta kemungkinan terbaiknya.
Veracity	Veracity menunjukkan kualitas dan asal data, dan sebagai penyeleksian kebenaran dan keaslian data.
Variety	Variety menggambarkan bahwa didalam Big Data terdapat banyak variasi atau macam data yang akan diproses dan dianalisis. Bise berupa data numerik, audio video, bahkan teks.

Big Data biasa disebut sebagai Not-Only Structured Query Language (NoSQL), hal ini berbeda dengan Relational Database Management System (RDBMS) atau basis data tradisional mulai dari variasi data untuk NoSQL bisa mencakup data semi terstruktur dan data tidak terstruktur, kecepatan baca-tulis (Read-Write) data dari Big Data yang sangat cepat (bergantung pada jumlah node) dan scalable [36].

**Gambar 2.9:** Grafik Ledakan Data terhadap Waktu Komputasi [37]



Beberapa kelebihan dan kekurangan jika menggunakan Big Data terdapat pada

Tabel 2.2.

**Tabel 2.2:** Kelebihan dan Kekurangan Big Data [38]

<b>Kelebihan</b>	<b>Kekurangan</b>
Pengambilan keputusan yang lebih baik	Kebutuhan akan <i>talent</i> yang profesional di bidangnya
Peningkatan produktivitas	Kualitas data
Mengurangi biaya	Perlunya perubahan budaya untuk menggunakan Big Data
Peningkatan layanan pelanggan	Peraturan yang mengatur tentang privasi data
Deteksi penipuan	Resiko keamanan
Peningkatan pendapatan	Perubahan yang cepat
Peningkatan agility	Kebutuhan perangkat keras pendukung
Inovasi yang lebih besar	Kecepatan lebih cepat dalam pemrosesannya
Kecepatan lebih cepat dalam pemrosesannya	Biaya

Terdapat beberapa *platform* yang sering digunakan dalam pengolahan Big Data, dan beberapa dan yang akan digunakannya adalah Apache Spark.

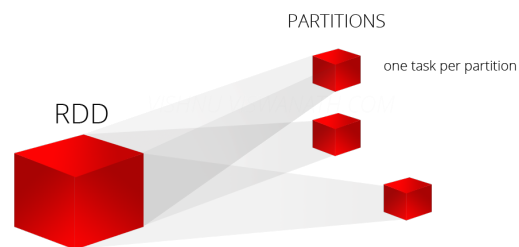
### 2.7.1 *Apache Spark*



**Gambar 2.10:** *Apache Spark* [39]

Apache Spark merupakan sebuah aplikasi mesin analitik yang terpadu untuk pemrosesan data berskala besar [39]. Apache Spark banyak digunakan di berbagai

industri, seperti Netflix, Yahoo, dan eBay. Bahasa yang dapat digunakan dalam Apache Spark adalah *Scala*, *SQL* dan *Python*. Arsitektur data dari Spark berupa RDD (*Resilient Distributed Dataset*). *Resilient* berarti toleran terhadap kesalahan dan dapat membuat data baru dari kesalahan tersebut, *Distributed* berarti data didistribusikan di antara beberapa node dalam sebuah cluster, dan *Dataset* berarti Kumpulan data yang berisi suatu nilai [40].



**Gambar 2.11:** Contoh Kasus RDD pada Spark [41]

Dengan menggunakan RDD, kita bisa melakukan beberapa hal seperti:

1. *Transformations* = Operasi ini dapat digunakan untuk membuat RDD baru
2. *Actions* = Operasi ini diaplikasikan pada RDD untuk menginstruksikan Apache Spark untuk menerapkan komputasi dan meneruskan hasilnya kembali ke driver

Kelebihan dari Spark adalah:

1. Kecepatan

Spark memiliki kecepatan 100x lebih cepat daripada Hadoop. Ini karena Spark menggunakan komputasi dan beberapa pengoptimalan lainnya.

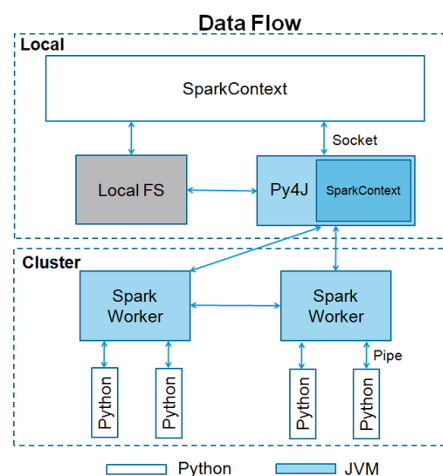
## 2. Kemudahan dalam penggunaan

Spark memiliki antarmuka yang mudah digunakan untuk memproses Big Data.

## 3. Aplikasi terpadu

Spark memiliki dukungan dan library yang sangat banyak, termasuk SQL, streaming data, machine learning, dan pemrosesan grafik. Salah satunya, spark dapat dioperasikan menggunakan library dari python yang disebut sebagai PySpark [42].

Apache Spark sangatlah cepat dalam pemrosesan data dikarenakan dalam kerjanya menggunakan *In-Memory Processing* yang berarti semua pekerjaan atau pemrosesan data yang dilakukan oleh Apache Spark akan di proses di dalam *memory*[43]. Untuk menggunakan fungsionalitas dari Spark, diperlukan *SparkContext* sebagai titik masuk aplikasinya. Untuk skema alur data nya dapat dilihat di Gambar 2.11 [44].



**Gambar 2.12:** Alur Kerja Data pada Apache Spark [44]

Kegunaan Apache Spark atau lebih tepatnya PySpark pada penelitian ini adalah untuk memproses komputasi energi orbital dari Teori Hückel. Basis bahasa dari PySpark adalah Python, namun karena karakteristik yang dimiliki PySpark yang akan membuat komputasi nya akan semakin cepat dan dibandingkan dengan laju komputasi menggunakan Python biasa.

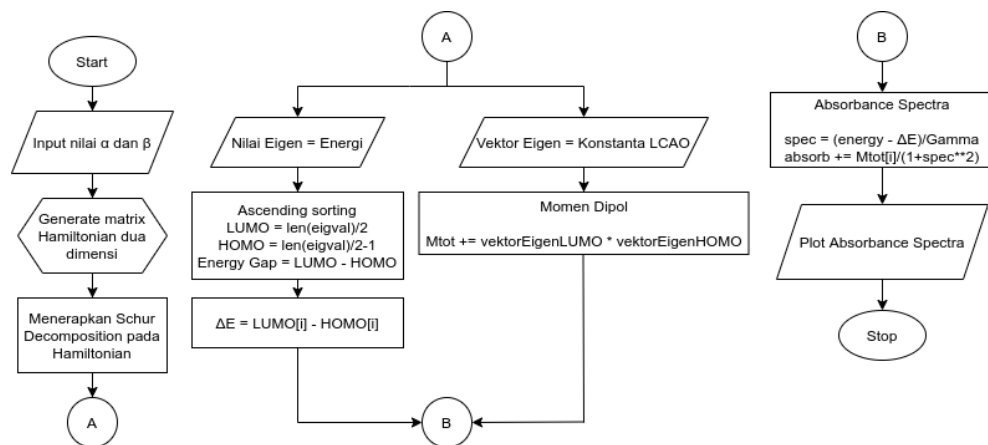
## **BAB III**

### **METODE PENELITIAN**

Penelitian Kalkulasi Nilai Eigen berbasis Matriks Hamiltonian menggunakan Teknik *Block Matrix* : Studi Kasus Pada *Graphene* dilakukan dengan 3 tahapan, yaitu perancangan algoritma penelitian, perancangan kode komputasi dan simulasi data. Perancangan algoritma penelitian akan membuat cara kerja aplikasi yang akan dibuat dimulai dari *Start* hingga komputasi berakhir. Dalam perancangan kode komputasi akan dibuat kode berbahasa *Python* yang akan dieksekusi oleh *Python Compiler* dan PySpark. Tahap terakhir adalah kalkulasi data data. Simulasi data akan mensimulasikan kode yang sudah dibuat menggunakan perangkat komputer dengan spesifikasi yang ditentukan. Dari hasil kalkulasi data ini akan dilihat hasil grafik celah energi dan spektrum absorbansi lalu performa komputasi yang dijelaskan dengan kecepatan komputasi yang dihasilkan dari variasi yang diterapkan.

#### **3.1 Perancangan Algoritma Penelitian**

Langkah-langkah penelitian dapat dilihat pada diagram alir penelitian pada Gambar 3.1



**Gambar 3.1:** Diagram Alir Penelitian

Dalam penelitian ini, akan dilakukan dengan beberapa tahap, yaitu pendefinisian, pemecahan matriks utama menjadi sub matriks kecil, diagonalisasi matriks, dan substitusi untuk dapat keluaran besar energi orbital molekul dari graphene dan laju konvergensi yang didapatkannya. Diawali dengan penginputan besar  $\alpha$  dan  $\beta$  dari Graphene lalu akan dibuat matriks Hamiltoniannya. Lalu, matriks Hamiltoniannya akan dioperasikan menggunakan dekomposisi Schur untuk dapat dikerjakan secara paralel. Keluaran nya berupa nilai eigen dan vektor eigen. Nilai eigen sebagai energi orbital, dan vektor eigen merupakan konstanta fungsi gelombangnya. Dari kedua keluaran ini, akan dicari besar absorpsi setiap perubahan energi eksitasinya lalu dibuatkan grafik.

## 3.2 Alat yang Digunakan

### 3.2.1 Perangkat Lunak

1. *Python* versi 3.8.5
2. *Apache Spark* versi 3.0.1 dengan *PySpark*
3. *Apache Hadoop* versi 3.14

4. *Visual Studio Code* versi 1.56.2
5. *Gnuplot* versi 5.4 patchlevel 1

### 3.2.2 Perangkat Keras

1. Server KST
  - (a) Processor : Intel Xeon E3-1225; 4 Core @ 3.7 GHz
  - (b) RAM : 8 GB
  - (c) Sistem Operasi : Ubuntu 18.04 LTS
2. Server Google Cloud Instance Iowa (US)
  - (a) Processor : Intel Xeon Skylake; 4 vCore/vCPU @ 3.7GHz
  - (b) RAM : 16 GB
  - (c) Sistem Operasi : Ubuntu 20.04 LTS

## 3.3 Perancangan Kode Komputasi

### 3.3.1 Perancangan Matriks Hamiltonian

Pada perancangan kode komputasi ini akan membuat kode dalam bahasa *Python* yang akan dikonversi menjadi kode yang dapat dieksekusi di *PySpark*. Matriks Hamiltonian yang dimiliki oleh Graphene bersifat matriks dua dimensi. Lalu dalam penentuan ikatan nya akan dilakukan menggunakan penentuan posisi atom acak dua dimensi. Penentuan posisi  $\vec{A}$  yaitu dengan

$$\vec{A} = A_x + A_y \quad (3.1)$$

$$A_x = rand * L_x, A_y = rand * L_y \quad (3.2)$$

dengan  $rand$  = angka acak, dan  $L_x = L_y$  = panjang horizontal dan vertikal.

Untuk menentukan indeks cell dari matriks dapat menggunakan rumus:

$$index = A_y * L_x + A_x \quad (3.3)$$

Maka, dari indeks yang dihasilkan akan menjadi matriks seperti berikut

$$\begin{bmatrix} index_{11} & index_{12} & index_{13} \\ index_{21} & index_{22} & index_{23} \\ index_{31} & index_{32} & index_{33} \end{bmatrix} \quad (3.4)$$

atau jika dijadikan angka indeks,

$$\begin{bmatrix} 9 & 8 & 7 \\ 6 & 5 & 4 \\ 3 & 2 & 1 \end{bmatrix} \quad (3.5)$$

angka indeks inilah yang akan digunakan dalam pembuatan fungsi matriks Hamiltonian.

Kemudian karena kita akan mencari koordinat  $(index_x, index_y)$ , maka kita harus mencari  $A_x$  dan  $A_y$  nya terlebih dahulu.

$$\begin{aligned} i_y &= index_x / L_x \\ i_x &= index_x - i_y * L_x \end{aligned} \quad (3.6)$$

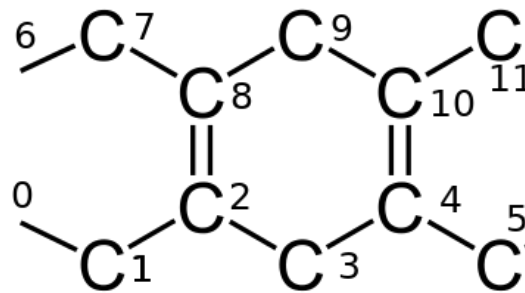


Dari  $i_x$  dan  $i_y$  yang telah didapatkan, kemudian dicari  $index_j$  nya dengan rumus,

$$index_j = j_y * L_x + j_x \quad (3.7)$$

dengan  $j_y = i_y + dy$  dan  $j_x = i_x + dx$ .

Untuk menentukan atom mana saja yang terikat pada Graphene, kita bisa menurunkan dari ilustrasi pada Gambar 3.2.



**Gambar 3.2:** Indeks Struktur Empirik Graphene

Dari gambar terlihat bahwa tidak semua atom saling berikatan. Seperti contoh atom dengan indeks 1 tidak berikatan dengan atom indeks 7 dan hanya berikatan dengan atom indeks 0 dan 2. Lalu atom indeks 2 berikatan dengan indeks 1, 3 dan 8. Maka disini dilakukan pengondisian menggunakan vektor dengan rumus,

$$rad = \sqrt{dx^2 + dy^2} \quad (3.8)$$

Hasil yang didapatkan digunakan untuk pengondisian dalam variabelisasi elemen  $\alpha$  dan  $\beta$  seperti pada persamaan (2.8) dengan pengondisian sebagai berikut:

$$\left\{ \begin{array}{l} rad = 0, H[i][j] = \alpha \\ rad = 1, mod(L_x) = 0, abs(i - j) = L_x, dan mod(i) = 1, H[i][j] = 0 \\ rad = 1, mod(L_x) = 1, mod(iy) = 0, abs(i - j) = L_x, dan mod(i) = 1, H[i][j] = 0 \\ rad = 1, mod(L_x) = 1, mod(iy) = 1, abs(i - j) = L_x, dan mod(i) = 0, H[i][j] = 0 \\ else, H[i][j] = \beta \end{array} \right. \quad (3.9)$$

### 3.3.2 Perancangan Kalkulasi Celah Energi

Matriks Hamiltonian yang didapat lalu diaplikasikan dengan teknik *Block Matrix* dengan menggunakan dekomposisi Schur. Ini karena persamaan Schrödinger tak bergantung waktu pada Persamaan 2.2 merupakan persamaan eigen dengan  $\hat{H}$  adalah operator,  $|\psi\rangle$  adalah fungsi eigen, dan  $E$  adalah nilai eigennya. Karena Persamaan 2.8 merupakan persamaan sekuler, dapat dilakukan pencarian energi dengan hanya menggunakan matriks hamiltoniannya saja menjadi,

$$\begin{vmatrix} \alpha - E & \beta & 0 & \beta \\ \beta & \alpha - E & \beta & 0 \\ \dots & \dots & \dots & \dots \\ \beta & 0 & \beta & \alpha - E \end{vmatrix} \quad (3.10)$$

Dengan mengaplikasikan persamaan (2.15), akan didapatkan dua buah output

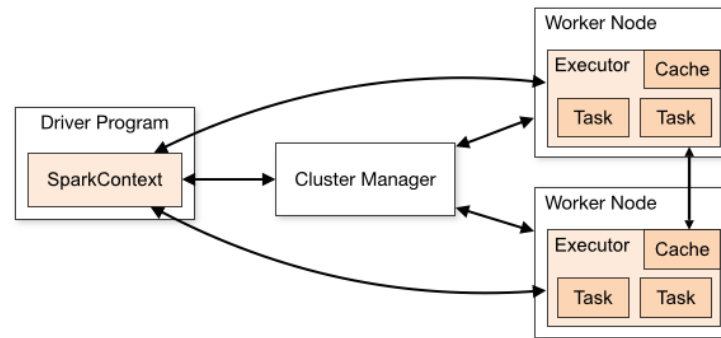
yaitu nilai eigen dan vektor eigen. Nilai eigen akan menjadi energi orbital, dan vektor eigen akan menjadi koefisien fungsi gelombangnya (yaitu  $c$  pada persamaan (2.1)).

Energi orbital nya akan di urutkan secara *ascending* untuk menempatkan energi sesuai konsep HOMO dan LUMO. Setengah atas adalah HOMO, dan setengah bawah adalah LUMO. Untuk mencari celah pita nya, dapat menghitung perbedaan energi HOMO dan LUMO terluarnya,

$$E_{gap} = E_{LUMO \text{ terluar}} - E_{HOMO \text{ terluar}} \text{ (eV)} \quad (3.11)$$

### 3.3.3 Perancangan Kalkulasi Celah Energi dengan *Python* dan *PySpark*

Untuk mencari celah energi nya, akan dilakukan menggunakan 2 buah aplikasi yaitu *Python* dan *PySpark*. Untuk *Python* akan dilakukan dengan 3 variasi yaitu *Serial Processing*, *Multi Processing*, dan *Threading*. Dari 4 buah variasi komputasi ini, akan dilihat performa komputasinya melalui jumlah waktu yang dibutuhkan untuk memproses matriks Hamiltonian. Khusus untuk *PySpark*, akan dijalankan menggunakan (*spark-submit*) dengan 4 core di setiap workernya. Skema kerja dari *PySpark* adalah sebagai berikut:



**Gambar 3.3:** Skema Kerja PySpark

Dalam Gambar 3.3 terlihat bahwa Spark menggunakan arsitektur master / slave. Spark memiliki satu koordinator pusat (*driver*) yang berkomunikasi dengan banyak *worker* (eksekutor) yang tersebar. *Driver* dan setiap *worker* menjalankan proses Python mereka masing-masing.

### 3.3.4 Perancangan Kalkulasi Absorbansi terhadap Perubahan Energi Eksitasi

Hasil dari kalkulasi energi eigen, lalu akan dihitung besar energi eksitasi dari HOMO ke LUMO dengan mengurangi tiap orbital LUMO dengan HOMO nya

$$\Delta E = E_{LUMO} - E_{HOMO} \text{ (eV)} \quad (3.12)$$

Untuk vektor eigen nya, dioperasikan untuk mencari momen dipol yang dimiliki oleh Graphene dengan mengalikan tiap kolom di daerah LUMO dengan tiap kolom

di daerah HOMO. Secara matematisnya,

$$M_{total} = \sum_i^{N_{atoms}} c_{[i, LUMO]} * c_{[i, HOMO]} \quad (3.13)$$

Dengan menggabungkan hasil dari  $\Delta E$  pada persamaan (3.12) dengan  $M_{total}$  pada persamaan (3.13), maka kita dapat mencari nilai absorbansinya dengan menggunakan persamaan (2.10).

## BAB IV

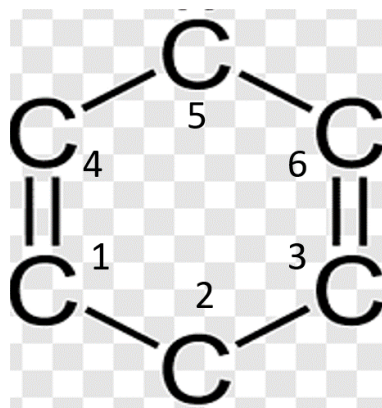
### HASIL DAN PEMBAHASAN

#### 4.1 Hasil Kode Komputasi

Pada bab ini, akan membahas mengenai hasil dari perancangan kode komputasi, seperti kalkulasi celah energi, kalkulasi celah energi dengan *Python* dan *PySpark* dan kalkulasi absorbansi terhadap perubahan energi eksitasi.

##### 4.1.1 Hasil Matriks Hamiltonian

Dari perancangan matriks Hamiltonian, didapatkan sebuah matriks  $m \times n$  2 dimensi. Matriks ini akan menjelaskan keberadaan partikel dan ikatan yang dimiliki oleh partikel tersebut dengan tetangga terdekatnya. Karena hanya mengambil tetangga terdekatnya, maka jarak antar atomnya dapat dianggap satu ( $r_{ij} = 1$ ). Untuk membuat matriks Hamiltoniannya, maka harus terlebih dahulu menentukan panjang atom di sumbu x dan panjang atom di sumbu y.



**Gambar 4.1:** Struktur Empirik Benzene untuk Hückel

Untuk benzene, maka panjang atom x nya adalah 3, dan panjang atom y nya adalah

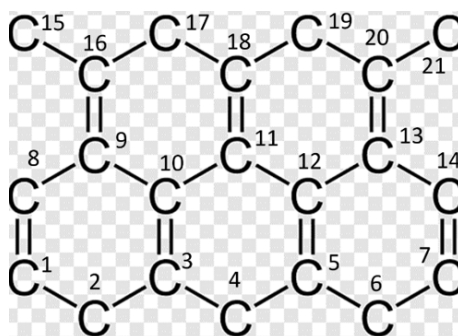
2. Matriks Hamiltonian yang didapatkan nya seperti berikut.

```
array([[ -10.7 ,  -1.58,   0. ,  -1.58,   0. ,   0. ],
       [ -1.58,  -10.7 ,  -1.58,   0. ,   0. ,   0. ],
       [  0. ,  -1.58,  -10.7 ,   0. ,   0. ,  -1.58],
       [ -1.58,   0. ,   0. ,  -10.7 ,  -1.58,   0. ],
       [  0. ,   0. ,   0. ,  -1.58,  -10.7 ,  -1.58],
       [  0. ,   0. ,  -1.58,   0. ,  -1.58,  -10.7 ]])
```

**Gambar 4.2:** Matriks Hamiltonian Benzene

Jika kita validasi Gambar 4.2 dengan ikatan benzene pada Gambar 4.1, maka terlihat bahwa tidak semua atom akan berikatan satu sama lain. Jika mengambil contoh atom  $C_1$ , maka hanya akan berikatan dengan atom  $C_4$  dan  $C_2$ . Maka atom  $C_1$  bernilai  $\alpha$  dan ikatan dengan atom  $C_4$  dan  $C_2$  bernilai  $\beta$ . Maka matriks dengan indeks  $H_{11}$  bernilai  $-10,7$  eV, lalu  $H_{12}$  dan  $H_{14}$  bernilai  $-1,58$  eV, begitupun untuk indeks lainnya.

Untuk atom karbon, jika diperbanyak, maka indeks ikatannya pun berbeda. Misalkan untuk senyawa Graphene 3,5 nm yang memiliki 21 buah atom karbon, struktur yang dimilikinya akan seperti berikut,



**Gambar 4.3:** Struktur Empirik Graphene 3,5 nm untuk Hückel

dan matriks hamiltonian yang didupatkannya adalah

Terlihat antara struktur Graphene 3,5 nm (Gambar 4.3) dengan matriks hamiltoniannya (Gambar 4.4) memiliki indeks yang sama. Sebagai contoh, untuk atom  $C_3$  akan berikatan dengan atom  $C_{10}$ ,  $C_2$  dan  $C_4$  yang menyebabkan terdapat nilai  $\beta$  pada matriks  $H_{3,10}$ ,  $H_{3,4}$  dan  $H_{3,2}$ . Sedangkan untuk atom  $C_2$  hanya berikatan dengan atom  $C_1$  dan  $C_3$  saja yang menyebabkan nilai  $\beta$  hanya terdapat pada matriks  $H_{2,1}$  dan  $H_{2,3}$ .

Karena hanya melibatkan ikatan dengan tetangga terdekat (*First-Nearest Neighbor*) sesuai asumsi Hückel, maka nilai  $\beta$  (sebesar  $-1.58$  eV) hanya untuk



ikatan terdekatnya, sedangkan interaksi dengan atom lainnya diabaikan.

#### 4.1.2 Hasil Kalkulasi Celah Energi

Dari matriks Hamiltonian yang didapatkan, kemudian dihitung nilai eigen nya. Nilai eigen ini yang menjadi energi yang dimiliki tiap orbital molekul. Nilai energi orbital molekul dari benzene adalah,

```
Energi orbital molekul ke-1 adalah -13.86 eV
Energi orbital molekul ke-2 adalah -12.28 eV
Energi orbital molekul ke-3 adalah -12.28 eV
Energi orbital molekul ke-4 adalah -9.12 eV
Energi orbital molekul ke-5 adalah -9.12 eV
Energi orbital molekul ke-6 adalah -7.54 eV
```

**Gambar 4.5:** Energi Orbital Molekul Benzene

dengan mengurangi energi HOMO terluar dengan LUMO terluar, maka didapatkan nilai celah energinya.

$$E_{gap}(\text{benzene}) = (-9,12 - (-12,28))\text{eV} = 3,16 \text{ eV} \quad (4.1)$$

Jika dibandingkan dengan hasil literatur, yaitu sebesar 3.1 eV [45], maka terdapat kesalahan relatif sebesar 18,96%.

Apabila jumlah atom karbon ditambah menjadi senyawa Graphene dengan 21 atom, maka energi orbital molekul nya menjadi 21 keadaan dengan energi tiap keadaannya sebesar,

Energi orbital molekul ke-1 adalah	-14.943159413619838 eV
Energi orbital molekul ke-2 adalah	-14.315428065807767 eV
Energi orbital molekul ke-3 adalah	-13.6194593227357 eV
Energi orbital molekul ke-4 adalah	-13.46360572543952 eV
Energi orbital molekul ke-5 adalah	-12.934457428549491 eV
Energi orbital molekul ke-6 adalah	-12.93445742854949 eV
Energi orbital molekul ke-7 adalah	-12.708701985070364 eV
Energi orbital molekul ke-8 adalah	-12.080970637258263 eV
Energi orbital molekul ke-9 adalah	-11.909279646273676 eV
Energi orbital molekul ke-10 adalah	-11.229148296890012 eV
Energi orbital molekul ke-11 adalah	-10.699999999999983 eV
Energi orbital molekul ke-12 adalah	-10.17085170310999 eV
Energi orbital molekul ke-13 adalah	-9.490720353726324 eV
Energi orbital molekul ke-14 adalah	-9.31902936274172 eV
Energi orbital molekul ke-15 adalah	-8.69129801492962 eV
Energi orbital molekul ke-16 adalah	-8.46554257145051 eV
Energi orbital molekul ke-17 adalah	-8.465542571450507 eV
Energi orbital molekul ke-18 adalah	-7.936394274560506 eV
Energi orbital molekul ke-19 adalah	-7.780540677264353 eV
Energi orbital molekul ke-20 adalah	-7.084571934192234 eV
Energi orbital molekul ke-21 adalah	-6.456840586380144 eV

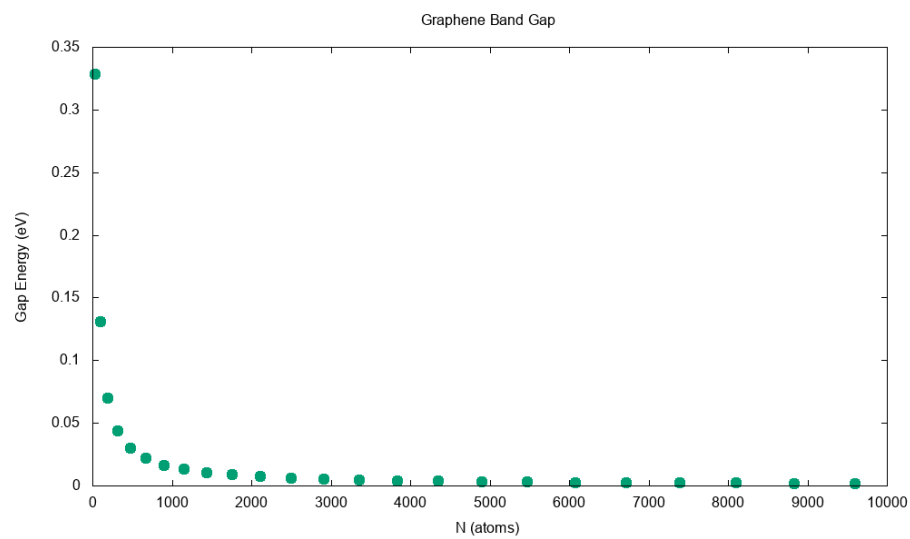
**Gambar 4.6:** Energi Orbital Molekul Graphene dengan 21 Atom

dengan celah energi nya sebesar 0.5291 eV. Dalam literatur, untuk Graphene berukuran 3.5 nm atau setara dengan 21 atom karbon memiliki celah energi 0,4 eV [46]. Kesalahan relatif yang didapatkan sebesar 32,28 %. Kesalahan relatif ini terjadi karena Teori Hückel merupakan persamaan semi-empirik dengan pendekatan nilai  $\alpha$  dan  $\beta$ . Maka akan terdapat perbedaan nilai dengan hasil dari karakterisasi bahan tersebut, dan juga karena Teori Hückel mengabaikan interaksi dengan atom-atom lainnya yang menyebabkan tidak semua atom akan saling berinteraksi pada teori ini.

Lalu, terlihat bahwa jika jumlah atom karbon diperbanyak, perbedaan energi tiap orbitalnya akan mengecil. Ini menyebabkan celah energinya pun semakin mengecil. Saat di plot kedalam grafik, maka terlihat jelas penurunan celah energinya seperti pada Gambar 4.7 dan pada Tabel 4.1

**Tabel 4.1:** Besar Celah Energi terhadap Banyaknya Atom Karbon

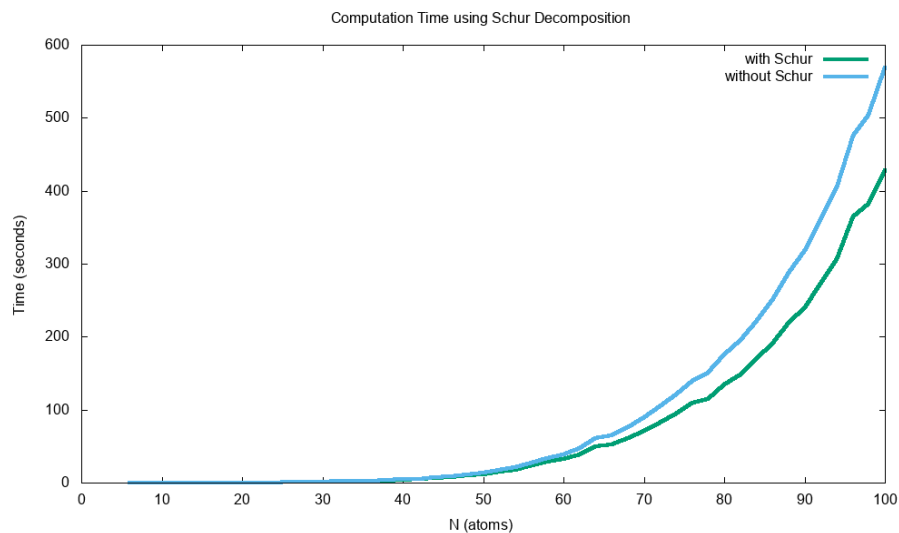
N (atom)	Celah Energi (eV)
6	3,1599
21	0,5291
36	0,3284
100	0,1306
196	0,0698
324	0,0434
484	0,0296
676	0,0214
900	0,0163
...	...
8100	0.0019
8836	0,0017
9604	0,0016

**Gambar 4.7:** Grafik Celah Energi terhadap Banyaknya Atom

#### 4.1.3 Hasil Kalkulasi Celah Energi dengan *Python* dan *PySpark*

Karena ukuran matriks yang sangat besar, maka dilakukanlah beberapa teknik untuk mencari pemrosesan komputasi dengan waktu tercepat. Yang pertama yaitu menggunakan teknik dekomposisi Schur. Untuk membuktikan bahwa

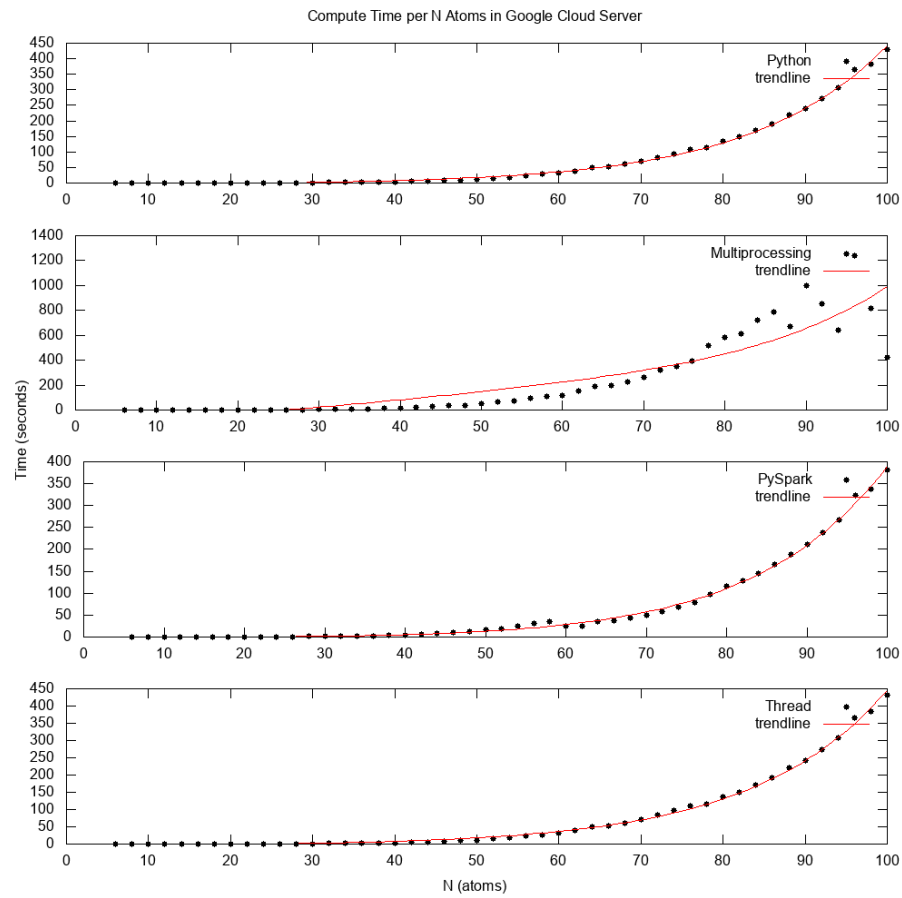
dekomposisi Schur dapat mempercepat kecepatan komputasi, maka dilakukan perbandingan hasil waktu komputasi tiap banyak atom nya. Grafik yang dihasilkan adalah sebagai berikut,



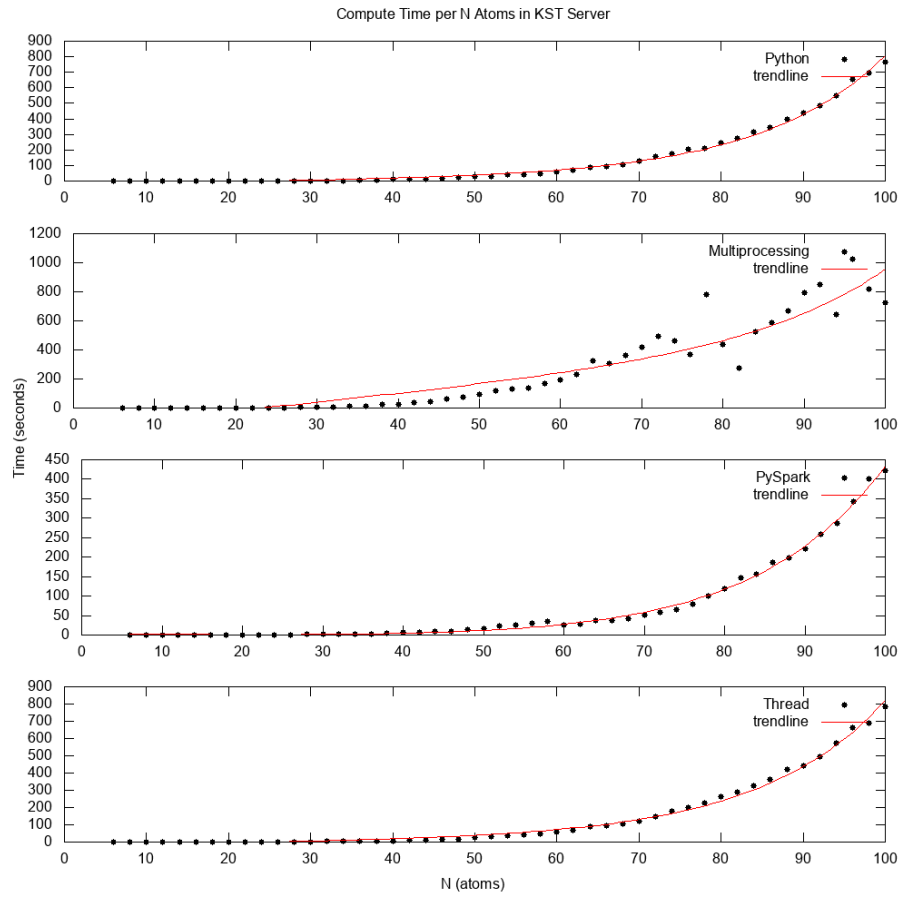
**Gambar 4.8:** Grafik Waktu Komputasi terhadap Banyak Atom dengan menggunakan dan tanpa menggunakan Dekomposisi Schur

Dari hasil ini, terlihat dengan menggunakan dekomposisi Schur dapat mempercepat komputasi matriks hamiltonian yang dimiliki. Hal ini terlihat dari grafik dengan dekomposisi Schur memiliki garis yang lebih landai dibandingkan grafik tanpa dekomposisi Schur.

Selain diaplikasikan dekomposisi Schur, telah dilakukan pengaplikasian teknik komputasi dengan Python (menggunakan *Serial Processing*, *Multiprocessing* dan *Threading*) dan PySpark. Dengan menghitung kecepatan komputasi tiap banyak atom, didapatkan grafik seperti berikut,



**Gambar 4.9:** Grafik Waktu Komputasi terhadap Banyak Atom untuk Server Google Cloud



**Gambar 4.10:** Grafik Waktu Komputasi terhadap Banyak Atom untuk Server KST

dengan persamaan ekstrapolasinya untuk Server Google Cloud,

$$\left\{ \begin{array}{l} y = 1.06283x^2 + 0.0566065x - 6.13494 \text{ (Python)} \\ y = 1.06611x^2 + 5.36721x - 145.615 \text{ (Multiprocessing)} \\ y = 1.06185x^2 - 0.135739x - 0.215598 \text{ (PySpark)} \\ y = 1.06287x^2 + 0.067744x - 6.38048 \text{ (Threading)} \end{array} \right. \quad (4.2)$$

dan untuk Server KST,

$$\left\{ \begin{array}{l} y = y = 1.06864x^2 + 0.616388x - 20.1333 \text{ (Python)} \\ y = 1.06478x^2 + 5.56834x - 133.594 \text{ (Multiprocessing)} \\ y = 1.06313x^2 - 0.235929x + 2.29776 \text{ (PySpark)} \\ y = 1.06878x^2 + 0.680441x - 22.4496 \text{ (Threading)} \end{array} \right. \quad (4.3)$$

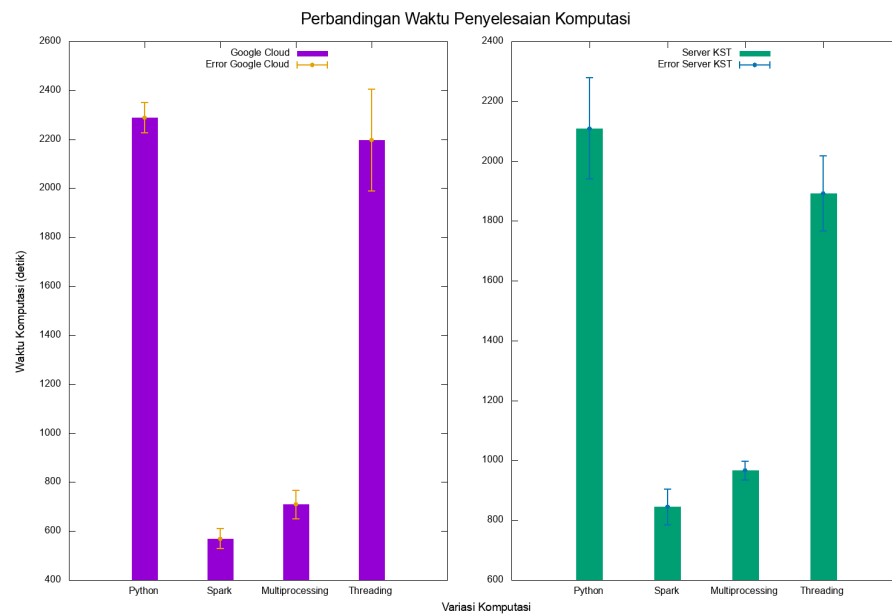
Untuk melihat kecepatan komputasi secara menyeluruh, telah dilakukan perhitungan waktu komputasi dari 6 hingga 100 atom dengan menghitung waktu untuk mengkalkulasi semua atom. Untuk itu, didapatkan data waktu pemrosesan untuk Server Google Cloud dan Server KST sebagai berikut,

**Tabel 4.2:** Waktu Komputasi dengan Server Google Cloud

Variasi Komputasi	Eksekusi ke-1	Eksekusi ke-2	Eksekusi ke-3	Eksekusi ke-4	Eksekusi ke-5	Rata-rata	Stddev
Python	2205,32	2377,87	2266,75	2254,75	2337,57	2288,46	61,53
Spark	528,73	537,24	544,09	612,98	622,35	569,08	40,08
Multiprocessing	615,76	786,04	738,32	677,24	726,87	708,84	57,99
Threading	2007,08	2035,64	2416,64	2040,86	2480,25	2196,46	207,34

**Tabel 4.3:** Waktu Komputasi dengan Server KST

Variasi Komputasi	Eksekusi ke-1	Eksekusi ke-2	Eksekusi ke-3	Eksekusi ke-4	Eksekusi ke-5	Rata-rata	Stddev
Python	1919,96	2221,53	1890,03	2300,64	2214,35	2109,31	169,81
Spark	819,59	762,35	866,24	943,08	832,33	844,72	59,51
Multiprocessing	915,15	986,36	964,46	1008,46	954,28	965,74	31,44
Threading	1758,13	1781,08	2095,36	1969,45	1859,09	1892,62	125,43



**Gambar 4.11:** Grafik Performa Komputasi

Jika dilihat dari Gambar 4.9 dan Gambar 4.10 terlihat bahwa penggunaan PySpark memiliki grafik yang lebih landai saat mengkalkulasi 70 atom dibandingkan dengan menggunakan variasi lain dan jika kita hitung waktu untuk mengkalkulasi semua matriksnya (pada Gambar 4.11) dengan menggunakan PySpark memiliki waktu komputasi yang tercepat. Waktu yang dibutuhkan untuk menghitung matriks berukuran  $36 \times 36$  hingga  $100000 \times 100000$  hanya sebesar 569,08 detik untuk Server Google Cloud dan 844,72 detik untuk Server KST. Pada urutan kedua tercepat yaitu menggunakan multiprocessing. Untuk multiprocessing dan PySpark memiliki cara kerja yang sama, yaitu menggunakan paralelisasi *core* yang dimiliki oleh prosesor. Namun, untuk PySpark menggunakan paralelisasi kedalam jumlah pekerja (*worker*) yang akan mengerjakan suatu tugas (*task*) dengan *In-Memory Processing*, yaitu proses yang akan dilakukan melibatkan *memory*. Untuk *load* dari server dapat dilihat di



Lampiran 6 dan Lampiran 7. Kemudian jika dibandingkan antara penggunaan Server Google Cloud dengan Server KST, terdapat keunggulan untuk pemrosesan Python dan Threading untuk Server KST dan keunggulan untuk pemrosesan PySpark dan Multiprocessing untuk Server Google Cloud.

#### 4.1.4 Hasil Kalkulasi Absorbansi terhadap Perubahan Energi Eksitasi

Hasil dari energi orbital kemudian dicari besar eksitasi dari HOMO ke LUMO tiap keadaannya. Untuk benzene, maka energi eksitasi tiap keadaan HOMO ke LUMO nya adalah,

**Tabel 4.4:** Besar Energi Eksitasi tiap Keadaan HOMO ke LUMO

Eksitasi Orbital	$\Delta E$ (eV)
4 ke 3	3,16
4 ke 2	3,16
4 ke 1	4,74
5 ke 3	3,16
5 ke 2	3,16
5 ke 1	4,74
6 ke 3	4,74
6 ke 2	4,74
6 ke 1	6,32

Kemudian dari hasil vektor eigen, di masukkan kedalam persamaan 2.1 untuk membuat persamaan *linear combination atomic orbital* dan menjadi,

$$\left\{ \begin{array}{l} \psi_1 = -0,408\phi_1 - 0,577\phi_2 + 0,408\phi_3 - 0,577\phi_4 - 0,031\phi_5 + 0,045\phi_6 \\ \psi_2 = -0,408\phi_1 - 0,289\phi_2 - 0,408\phi_3 + 0,289\phi_4 - 0,515\phi_5 - 0,520\phi_6 \\ \psi_3 = -0,408\phi_1 + 0,289\phi_2 + 0,408\phi_3 + 0,289\phi_4 - 0,484\phi_5 + 0,477\phi_6 \\ \psi_4 = -0,408\phi_1 - 0,289\phi_2 - 0,408\phi_3 + 0,289\phi_4 + 0,484\phi_5 + 0,477\phi_6 \\ \psi_5 = -0,408\phi_1 + 0,289\phi_2 + 0,408\phi_3 + 0,289\phi_4 + 0,515\phi_5 - 0,521\phi_6 \\ \psi_6 = -0,408\phi_1 + 0,577\phi_2 - 0,408\phi_3 - 0,577\phi_4 + 0,031\phi_5 + 0,045\phi_6 \end{array} \right. \quad (4.4)$$

Konstanta fungsi gelombang inilah yang akan menginterpretasikan momen dipol yang dimiliki oleh Benzene. Untuk mencari momen dipol, dapat menggunakan rumus 3.13. Hasil yang didapatkannya adalah,

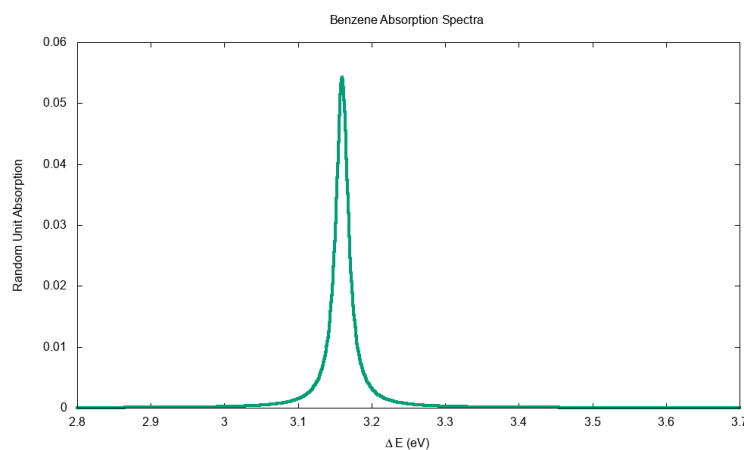
**Tabel 4.5:** Besar Momen Dipol Transisi

Transisi Orbital	Momen Dipol Transisi (eV)
4 ke 3	0,054
4 ke 2	$1,249 \cdot 10^{-15}$
4 ke 1	$7,772 \cdot 10^{-16}$
5 ke 3	$1,804 \cdot 10^{-16}$
5 ke 2	$1,284 \cdot 10^{-16}$
5 ke 1	$-8,327 \cdot 10^{-17}$
6 ke 3	$-2,689 \cdot 10^{-16}$
6 ke 2	$-4,996 \cdot 10^{-16}$
6 ke 1	$-1,183 \cdot 10^{-15}$

Momen dipol transisi terbesar adalah saat transisi orbital 4 ke 3. Hal ini disebabkan karena transisi tersebut terletak pada titik terluar yang menyebabkan

transisinya akan membutuhkan energi yang besar, dan transisi orbital 4 ke 3 merupakan transisi yang terjadi pada celah energi dari senyawa tersebut.

Dari hasil perubahan energi eksitasi tiap orbital (Tabel 4.4) dan hasil momen dipol transisi (Tabel 4.5) telah dihitung besar absorbansi terhadap perubahan energi eksitasi tiap orbital menggunakan persamaan 2.10. Jika diplot, grafik absorpsi terhadap  $\Delta E$  nya menjadi,



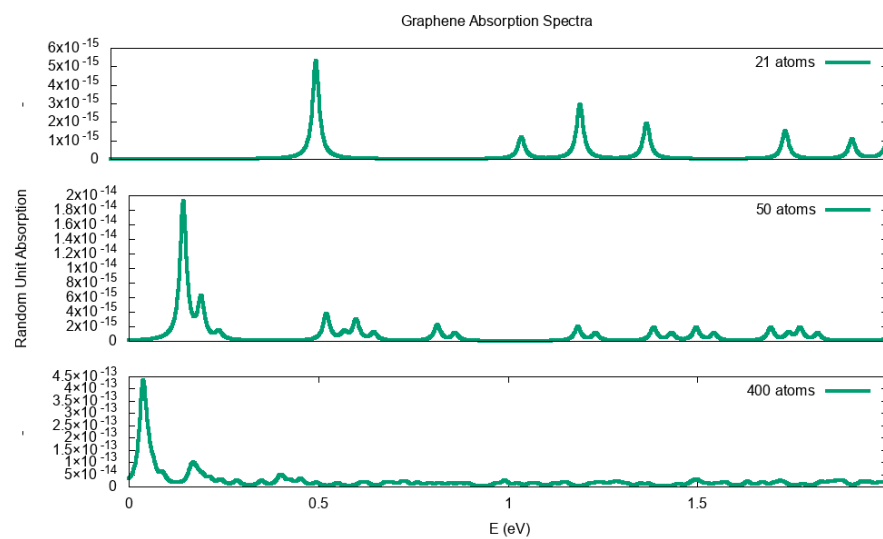
**Gambar 4.12:** Spektrum Absorbansi terhadap Perubahan Energi Eksitasi pada Benzene

Dari gambar 4.12, terlihat bahwa titik puncak penyerapan energi terjadi pada  $\Delta E$  sebesar  $\pm 3.15$  eV dan ini adalah besar celah energi yang dimiliki oleh Benzene. Hal ini disebabkan karena titik absorpsi energi menggambarkan besar energi yang akan diserap oleh elektron, dan energi yang diserap akan membuat elektron tereksitasi ke keadaan dengan energi yang lebih besar. Besar  $\Delta E$  dapat diubah menjadi panjang gelombang ( $\lambda$ ) dengan rumus,

$$\lambda (\mu m) = \frac{1.2398}{E (eV)} \quad (4.5)$$

Untuk benzene, didapatkan puncak absorpsi nya terjadi pada panjang gelombang  $0,3935\mu\text{m}$ .

Apabila jumlah atom karbon diperbanyak, maka puncak absorbansi yang terjadi akan bergeser ke kiri (mendekati  $\Delta E = 0$ ). Terlihat pada Gambar 4.13,



**Gambar 4.13:** Spektrum Absorbansi terhadap Perubahan Energi Eksitasi pada Graphene

Puncak absorpsinya terjadi pada panjang gelombang  $3,3099\mu\text{m}$  untuk  $N = 21$  atom,  $8,6037\mu\text{m}$  untuk  $N = 50$  atom, dan  $33,4178\mu\text{m}$  untuk  $N = 400$  atom.

Selain itu, terdapat puncak-puncak kecil yang menunjukkan masih ada energi yang terserap oleh elektron. Ini menunjukkan bahwa Graphene bersifat metalik yaitu sebagai konduktor yang baik akibat perpindahan atau eksitasi elektron yang terjadi sangatlah mudah.

## BAB V

### KESIMPULAN DAN SARAN

#### 5.1 Kesimpulan

Telah dirancang algoritma untuk membangun matriks Hamiltonian dan kalkulasi spektrum absorpsi menggunakan bahasa pemrograman Python. Data-data yang telah didapatkan meliputi: celah energi (*gap energy*), energi eksitasi tiap tingkat orbital molekul ( $\Delta E$ ), momen dipol transisi, dan absorpsi. Celah energi yang didapatkan akan mengecil jika semakin banyak atom karbon yang dimiliki oleh Graphene. Ini disebabkan karena saat atom karbon bertambah, jarak energi antar orbital molekulnya akan semakin kecil atau *density of states* nya bertambah padat dan menyebabkan elektron lebih mudah untuk bereksitasi. Akurasi yang didapatkan dari hasil perhitungan celah energi yaitu: celah energi Benzene pada literatur sebesar 3.1 eV [45] dan hasil komputasi sebesar 3.1599 eV dengan kesalahan relatif sebesar 18,95%. Untuk akurasi Graphene 3.5 nm, didapatkan hasil literatur sebesar 0.4 eV [46] dan hasil komputasi sebesar 0.5219 eV dengan kesalahan relatif sebesar 32,275%. Hal ini diakibatkan Teori Hückel merupakan persamaan semi-empirik dan hanya melibatkan interaksi tetangga terdekatnya saja. Setelah menghitung celah energi, lalu dicari energi eksitasi tiap tingkat orbital dan momen dipol transisinya dan didapatkan besar absorbansi tiap perubahan energi eksitasi. Jika di plot kedalam grafik, akan terlihat puncak

absorpsi yang menginterpretasikan besar celah energi yang dimiliki oleh Graphene. Hal ini karena momen dipol transisi akan menggambarkan besar energi transisi orbital molekulnya, dan energi transisi tertinggi akan menggambarkan transisi dari keadaan HOMO ke LUMO yang merupakan celah energi. Puncak absorpsi akan semakin menggeser mendekati  $\Delta E = 0$  saat atom karbon nya bertambah dan juga terdapat puncak-puncak kecil dari absorpsi yang menunjukkan Graphene merupakan bahan dengan sifat metalik dan konduktor yang baik. Dalam penghitungan besar energi orbital molekul, dilakukan dengan menggunakan teknik *Block Matrix* dan variasi komputasi Python, *PySpark*, *Multiprocessing* dan *Threading*. Dari teknik tersebut, didapatkan bahwa dengan menggunakan teknik *Block Matrix* dapat mempercepat kecepatan komputasi, begitupun dari keempat variasi komputasi, PySpark memiliki keunggulan dalam waktu komputasi yang dibutuhkan dengan rata-rata 569,08 detik untuk Server Google Cloud dan 844,72 detik untuk Server KST.

## 5.2 Saran

Dari penelitian yang sudah dilakukan, terdapat beberapa masukan untuk penelitian selanjutnya yaitu:

1. Membuat plot spektrum absorpsi terhadap panjang gelombang dalam skala panjang gelombang untuk melihat besar penyerapan energi di setiap panjang gelombangnya sesuai kerja UV-Vis Spektrometer
2. Membuat kode untuk mengkalkulasi spektrum absorpsi Graphene Oxide dan

### Reduced Graphene Oxide

3. Menganimasikan perilaku orbital molekul pada Graphene untuk mempermudah pembaca dalam memahami peristiwa tersebut
4. Melihat pengaruh *Meta-Stable Energy* yang menyebabkan terdapat energi yang tersisa pada grafik absorpsi
5. Menggunakan performa Apache Spark dengan *full-power* agar performa komputasi yang dihasilkan lebih baik

## DAFTAR PUSTAKA

- [1] J. C. Slater. *Introduction to Chemical Physics*. 1939.
- [2] ACS. *Organic Chemistry*. 2020. URL: <https://www.acs.org/content/acs/en/careers/college> (visited on 07/27/2020).
- [3] Zhen Zhen and Hongwei Zhu. *Structure and properties of graphene*. Elsevier Inc., 2017, pp. 1–12. ISBN: 9780128126516. DOI: 10.1016/B978-0-12-812651-6.00001-X. URL: <http://dx.doi.org/10.1016/B978-0-12-812651-6.00001-X>.
- [4] B. Ribeiro and W Kusuma. “Aplikasi Metode Huckel dan Slater pada Orbital Molekul Untuk Menentukan Energi Ikatan Molekul”. In: (), pp. 1–28.
- [5] P. Ni. “Band gap of graphene nanoribbons calculated using Huckel molecular orbital theory”. In: *International Journal of Engineering and Applied Sciences* 2.3 (2015), p. 257979. ISSN: 2394-3661.
- [6] J. Clayden, N. Greeves, and S. Warren. *Organic Chemistry*. 2nd. Oxford, 2012.
- [7] C. B. Clemons et al. “Continuum plate theory and atomistic modeling to find the flexural rigidity of a graphene sheet interacting with a substrate”. In: *Journal of Nanotechnology* 2010 (2010). ISSN: 16879503. DOI: 10.1155/2010/868492.
- [8] Ben. *Metana*. 2016. URL: <https://id.wikipedia.org/wiki/Berkas:Methane-2D-dimensions.svg>.



- [9] Sivabrata Sahu and G C Rout. “Band gap opening in graphene: a short theoretical study”. In: *International Nano Letters* 7.2 (2017), pp. 81–89. ISSN: 2008-9295. DOI: 10.1007/s40089-017-0203-5.
- [10] Michael Berger. *What is Graphene?* 2019. URL: [https://www.nanowerk.com/what\\_is\\_graphene.php](https://www.nanowerk.com/what_is_graphene.php).
- [11] Verjari. *Graphene clothing: Exceptional sports properties*. URL: <https://www.verjari.fr/en/blogs/articles/vetements-graphene-sport-clothes>.
- [12] Manijeh Razeghi. “The carbon atom”. In: *The Mystery of Carbon*. 2053-2563. IOP Publishing, 2019, pp. 1–12. ISBN: 978-0-7503-1182-3. DOI: 10.1088/2053-2563/ab35d1ch1. URL: <http://dx.doi.org/10.1088/2053-2563/ab35d1ch1>.
- [13] Monisha Chakraborty and M. Saleem J. Hashmi. *Graphene as a Material – An Overview of Its Properties and Characteristics and Development Potential for Practical Applications*. Elsevier Ltd., 2018, pp. 1–17. ISBN: 9780128035818. DOI: 10.1016/b978-0-12-803581-8.10319-4. URL: <http://dx.doi.org/10.1016/B978-0-12-803581-8.10319-4>.
- [14] Satiye Korkmaz and İ Af. “Graphene and graphene oxide based aerogels : Synthesis , characteristics and supercapacitor applications”. In: 27.September 2019 (2020). DOI: 10.1016/j.est.2019.101038.
- [15] F. Albert Cotton. *Chemical applications of group theory*. 3rd ed. New York: Wiley, 1990, p. 102.

- [16] Rustam E Siregar. *MEKANIKA KUANTUM MOLEKUL Struktur Elektronik Atom dan Molekul*. Jatinangor: Unpad Press, 2014. ISBN: 9786029238624.
- [17] Aradhana Anil and S. Ramasesha. *Huckel theory and Band theory: Computational approach*. Tech. rep. URL: <http://reports.ias.ac.in/report/14114/huckel-theory-and-band-theory-computational-approach>.
- [18] Rustaman. “KEADAAN-KEADAAN TRANSISI MOLEKUL”. In: *Karya Tulis Ilmiah Kimia Unpad* (2008), pp. 1–21.
- [19] M J Mączyński. “A SIMPLE DERIVATION OF HUCKEL’S MOLECULAR ORBITALS IN THE FRAMEWORK OF QUANTUM LOGIC”. In: *Reports on Mathematical Physics* 30.1 (1991), pp. 81–88. DOI: [https://doi.org/10.1016/0034-4877\(91\)90042-L](https://doi.org/10.1016/0034-4877(91)90042-L).
- [20] Yutaka Imamura et al. “Extrapolation of polymer gap by combining cluster and periodic boundary condition calculations with Hückel theory”. In: *Chemical Physics Letters* 707 (2018), pp. 44–48. ISSN: 00092614. DOI: [10.1016/j.cplett.2018.07.023](https://doi.org/10.1016/j.cplett.2018.07.023). URL: <https://doi.org/10.1016/j.cplett.2018.07.023>.
- [21] Risdiana. *Diktat Pengantar Fisika Zat Padat*. Jatinangor: Unpad, 2014.
- [22] Tomgelly. *Molecule HOMO-LUMO Diagram*. 2010. URL: [https://commons.wikimedia.org/wiki/File:Molecule\\_HOMO-LUMO\\_diagram.svg](https://commons.wikimedia.org/wiki/File:Molecule_HOMO-LUMO_diagram.svg).

- [23] Sarah Faizi and Craig Fisher. *Pauli Exclusion Principle*. 2021. URL: [https://chem.libretexts.org/Bookshelves/Physical\\_and\\_Theoretical\\_Chemistry\\_Textbook\\_Maps/Supplemental\\_Modules\\_\(Physical\\_and\\_Theoretical\\_Chemistry\)/Electronic\\_Structure\\_of\\_Atoms\\_and\\_Molecules/Electronic\\_Configurations/Pauli\\_Exclusion\\_Principle](https://chem.libretexts.org/Bookshelves/Physical_and_Theoretical_Chemistry_Textbook_Maps/Supplemental_Modules_(Physical_and_Theoretical_Chemistry)/Electronic_Structure_of_Atoms_and_Molecules/Electronic_Configurations/Pauli_Exclusion_Principle) (visited on 07/14/2021).
- [24] J P Bird. “Semiconductors: An Introduction”. In: ed. by K H Jürgen Buschow et al. Oxford: Elsevier, 2002, pp. 1–16. ISBN: 978-0-08-043152-9. DOI: <https://doi.org/10.1016/B0-08-043152-6/01854-4>. URL: <https://www.sciencedirect.com/science/article/pii/B0080431526018544>.
- [25] Wildan Abdussalam. “Dynamics of Rydberg atom lattices in the presence of noise and dissipation”. PhD thesis. Technischen Universität Dresden, 2017.
- [26] Tim Davis. “Block matrix methods: Taking advantage of high-performance computers”. In: (2004).
- [27] William Ford. *Numerical Linear Algebra with Applications: Editorial*. Vol. 10. 7. USA: Elsevier, 2003, p. 561. ISBN: 9780123944351. DOI: 10.1002/nla.335.
- [28] Patrick Pisciuneri. *How Target Performance Tunes Machine Learning Applications*. 2016.

- [29] Math Is Fun. *Eigenvector and Eigenvalue*. URL: <https://www.mathsisfun.com/algebra/eigenvalue.html> (visited on 08/07/2021).
- [30] Jean Gallier. “The Schur Complement and Symmetric Positive Semidefinite ( and Definite ) Matrices”. In: *Complement* (2010), pp. 1–12. URL: [http://www.cis.upenn.edu/~sim\\$jean/schur-comp.pdf](http://www.cis.upenn.edu/~sim$jean/schur-comp.pdf).
- [31] Muhammad Saqlain et al. *A Classification Model for Predicting Heart Failure in Cardiac Patients*. 2017, pp. 36–43. ISBN: 978-3-319-51233-4. DOI: 10.1007/978-3-319-51234-1\_6.
- [32] Oracle. *Big Data Defined*. 2020. URL: <https://www.oracle.com/big-data/what-is-big-data/>.
- [33] Nataliya Shakhovska et al. “Big data processing technologies in distributed information systems”. In: *Procedia Computer Science* 160.2018 (2019), pp. 561–566. ISSN: 18770509. DOI: 10.1016/j.procs.2019.11.047. URL: <https://doi.org/10.1016/j.procs.2019.11.047>.
- [34] Jose Moura and Carlos Serrao. “Security and Privacy Issues of Big Data”. In: 2015. ISBN: 9781466685055. DOI: 10.4018/978-1-4666-8505-5.ch002.
- [35] Seth Schaafsma. *Big Data: The 6 Vs You Need to Look at for Important Insights*. 2020. URL: <https://www.motivaction.nl/en/news/blog/big-data-the-6-vs-you-need-to-look-at-for-important-insights>.

- [36] Nurfauzi Fadillah. “Rancang Bangun Prototipe Sistem Pemrosesan Big Data untuk Analisis dan Pemantauan Sistem Daya Listrik”. PhD thesis. Universitas Padjadjaran, 2020.
- [37] Matthew Stewart. *Handling Big Datasets for Machine Learning - Towards Data Science*. 2019. URL: <https://towardsdatascience.com/machine-learning-with-big-data-86bcb39f2f0b>.
- [38] Chynthia Harvey. *Big Data Pros and Cons*. 2018. URL: <https://www.datamation.com/big-data/big-data-pros-and-cons.html>.
- [39] Apache. “Apache Spark”. In: (2018).
- [40] Swatee Chand. *PySpark Programming – Integrating Speed With Simplicity*. 2020. URL: <https://www.edureka.co/blog/pyspark-programming/>.
- [41] Krishna Kumar. *GitHub: Data Analytics*. 2018. URL: <https://kks32-courses.gitbook.io/data-analytics/spark/rdd#partitions>.
- [42] Databricks. *Apache Spark*.
- [43] Alex Bekker. *Spark vs. Hadoop MapReduce: Which big data framework to choose*. 2017. URL: <https://www.scnsoft.com/blog/spark-vs-hadoop-mapreduce>.
- [44] Tutorialspoint. *PySpark - SparkContext*. URL: [https://www.tutorialspoint.com/pyspark/pyspark\\_sparkcontext.htm](https://www.tutorialspoint.com/pyspark/pyspark_sparkcontext.htm).
- [45] P Masiak and M Wierzbowska. “Ferroelectric pi-stacks of molecules with the energy gaps in the sunlight range”. In: *Journal Material Science* 52 (2017), pp. 4378–4388.

- [46] Cheolho Jeon et al. “Opening and reversible control of a wide energy gap in uniform monolayer graphene”. In: *Scientific Reports* 3 (2013), pp. 1–6. ISSN: 20452322. DOI: 10.1038/srep02725.

## DAFTAR LAMPIRAN

### Lampiran 1: Kode Kalkulasi Huckel dan Absorbansi

---

```
1 import numpy as np
2 from scipy import linalg as la
3
4 def huckel_2(L):
5     """
6     Build hamiltonian matrix
7     """
8     N = L**2
9     Lx = L
10    Ly = L
11    H = zeros(N, N)
12    for atom_i in range(0,N):
13        iy = int(atom_i/Lx)
14        ix = int(atom_i - Lx*iy)
15        #determine interaction with nearest neighbours
16        for dy in range(-1, 2):
17            for dx in range(-1, 2):
18                #determine coordinate atom_j
19                jx = ix + dx*Lx
20                jy = iy + dy*Ly
```

```

21
22         if jx>=0 and jx<Lx and jy>=0 and jy<Ly-1:
23             atom_j = int(jy*Lx + jx*jx)
24             rsquare = dx * dx * dx + dy * dy * dy
25             rad = np.sqrt(rsquare)
26
27             if rad == 0 : H[atom_i, atom_j]= -11.1
28             elif rad == 1 : H[atom_i, atom_j] = -5.5
29             else : H[atom_i, atom_j] = 0
30
31     """
32     Calculating eigen energy with Schur Decomposition
33     """
34     eigval_schur, Z = la.schur(H)
35     eigval_schur = sorted(np.diag(eigval_schur))
36
37     """
38     Calculating gap from eigen energy
39     """
40     indexHomo = int(len(eigval_schur)/2-1)
41     indexLumo = int(len(eigval_schur)/2)
42     Egap = eigval_schur[indexLumo] - eigval_schur[indexHomo]
43     print(f'Energy_gap_{Lx}x{Ly}_sebesar_{Egap}_eV')

```



44

45     **return** H, eigval\_schur, Egap

---

## Lampiran 2: Kode Eksekusi dengan Python

---

```

1 from huckel import huckel_2

2 import numpy as np

3 from pprint import pprint

4

5 def main():

6     list_egap = []

7     N = np.arange(6,101,2)

8     for X in N:

9         H, eigval_schur, Egap = huckel_2(X)

10        list_egap.append(Egap)

11

12    file = open("spectra-graphene.txt", "w")

13    zipped = np.vstack((x,y_list)).T

14    np.savetxt(file, zipped, delimiter=' ')

15

16 if __name__ == "__main__":

17     main()

```

---

## Lampiran 3: Kode Eksekusi dengan PySpark

---

```
1 from __future__ import print_function
2 from pyspark.sql import SparkSession
3 from pyspark import SparkContext, SparkConf
4 import numpy as np
5 import time
6 from operator import add
7 from huckel import huckel_2
8
9 #spark = SparkSession.builder.appName('Tugas Akhir').getOrCreate()
10 #sc = spark.sparkContext
11
12 conf = SparkConf().setAppName('Tugas_Akhir').setMaster("spark://sparks.us-east1-c.c
    .sparkproject-319117.internal:7077")
13 # conf = SparkConf().setAppName('Tugas Akhir')
14 sc = SparkContext(conf=conf)
15 # spark = SparkSession.builder.appName('Tugas Akhir').getOrCreate()
16 # sc = spark.sparkContext
17
18 def main():
19     t0 = time.perf_counter()
20     x = np.arange(6,100,2)
21     sc.parallelize(x).map(huckel_2).reduce(add)
22     tn = time.perf_counter()
```

```

23     print(f'Waktu_komputasi_{tn-t0}_s')
24     sc.stop()
25
26 if __name__ == '__main__':
27     main()

```

---

#### Lampiran 4: Kode Eksekusi dengan Multiprocessing

---

```

1 from huckel import huckel_2
2 import time
3 import multiprocessing as mp
4 import numpy as np
5
6 def main():
7     start = time.time()
8     X = np.arange(6,101,2)
9     with mp.Pool(5) as p:
10         res = p.map(huckel_2,X)
11         print(res[0][3])
12     stop = time.time()
13     print('Waktu_komputasi_{s}'.format(stop-start))
14
15 if __name__ == '__main__':
16     main()

```

---

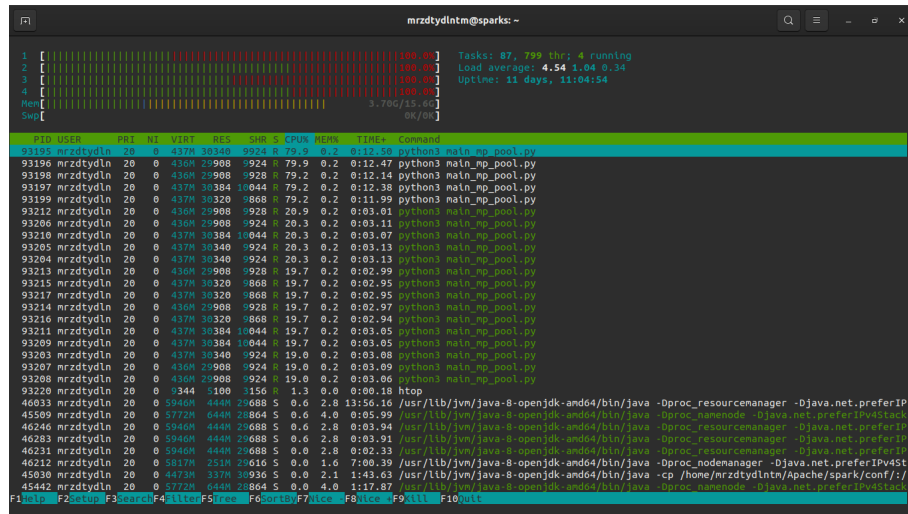
### Lampiran 5: Kode Eksekusi dengan Threading

---

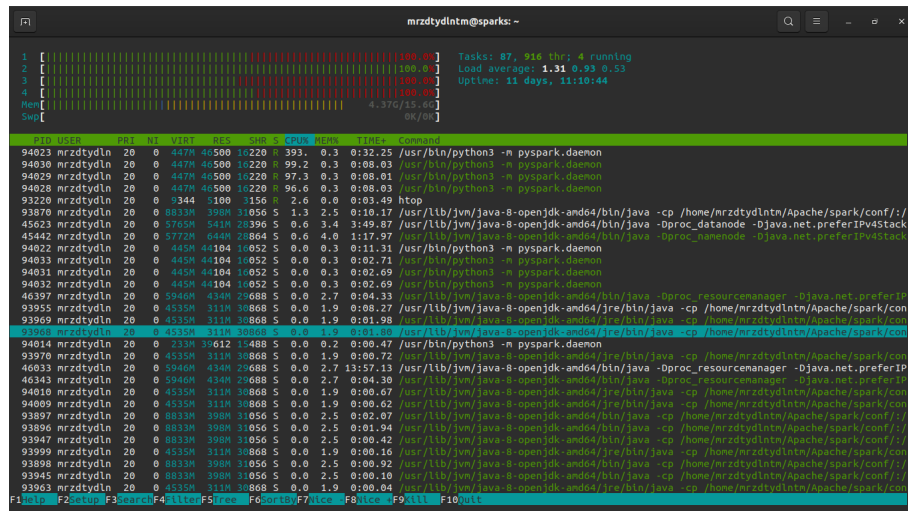
```
1 from huckel import huckel_2
2 import numpy as np
3 from numpy import linalg as la
4 import time
5 from scipy import linalg as la
6 import threading
7
8 def main():
9     start = time.time()
10    X = np.arange(6,101,2)
11    for x in X:
12        t1 = threading.Thread(target=huckel_2, args=(x,))
13        t1.start()
14        t1.join()
15    stop = time.time()
16    print('Waktu_komputasi={}\s'.format(stop-start))
17
18 if __name__ == "__main__":
19     main()
```

---

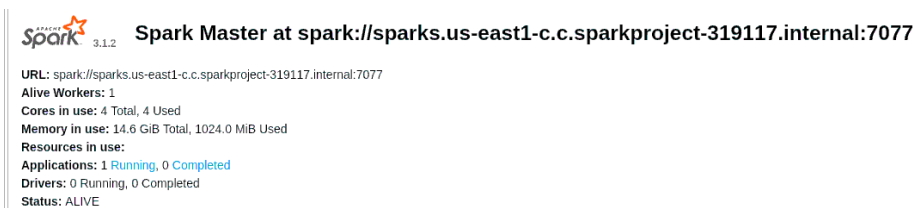
## Lampiran 6: *Process Load* dengan Multiprocessing

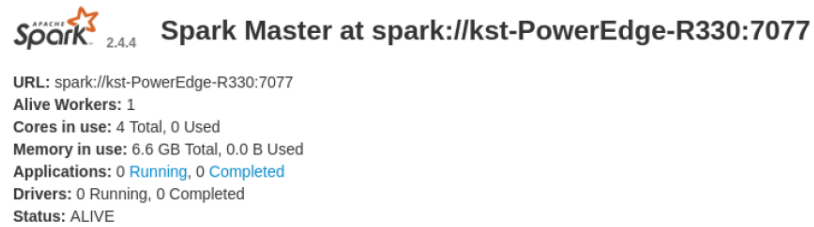


## Lampiran 7: *Process Load* dengan PySpark



## Lampiran 8: Spark Master pada Server Google Cloud





\_\_\_\_\_

